



DPG-Frühjahrstagung mit den folgenden Fachverbänden

- Physik der Hadronen und Kerne
- Didaktik der Physik

Das GERDA Experiment zum neutrinolosen doppelten Betazerfall

in ^{76}Ge

Peter Grabmayr

Kepler Center für Astro- und Teilchenphysik

Eberhard Karls Universität Tübingen

Frankfurt, 19. März 2014

für die GERDA collaboration



bmb+f - Förderschwerpunkt

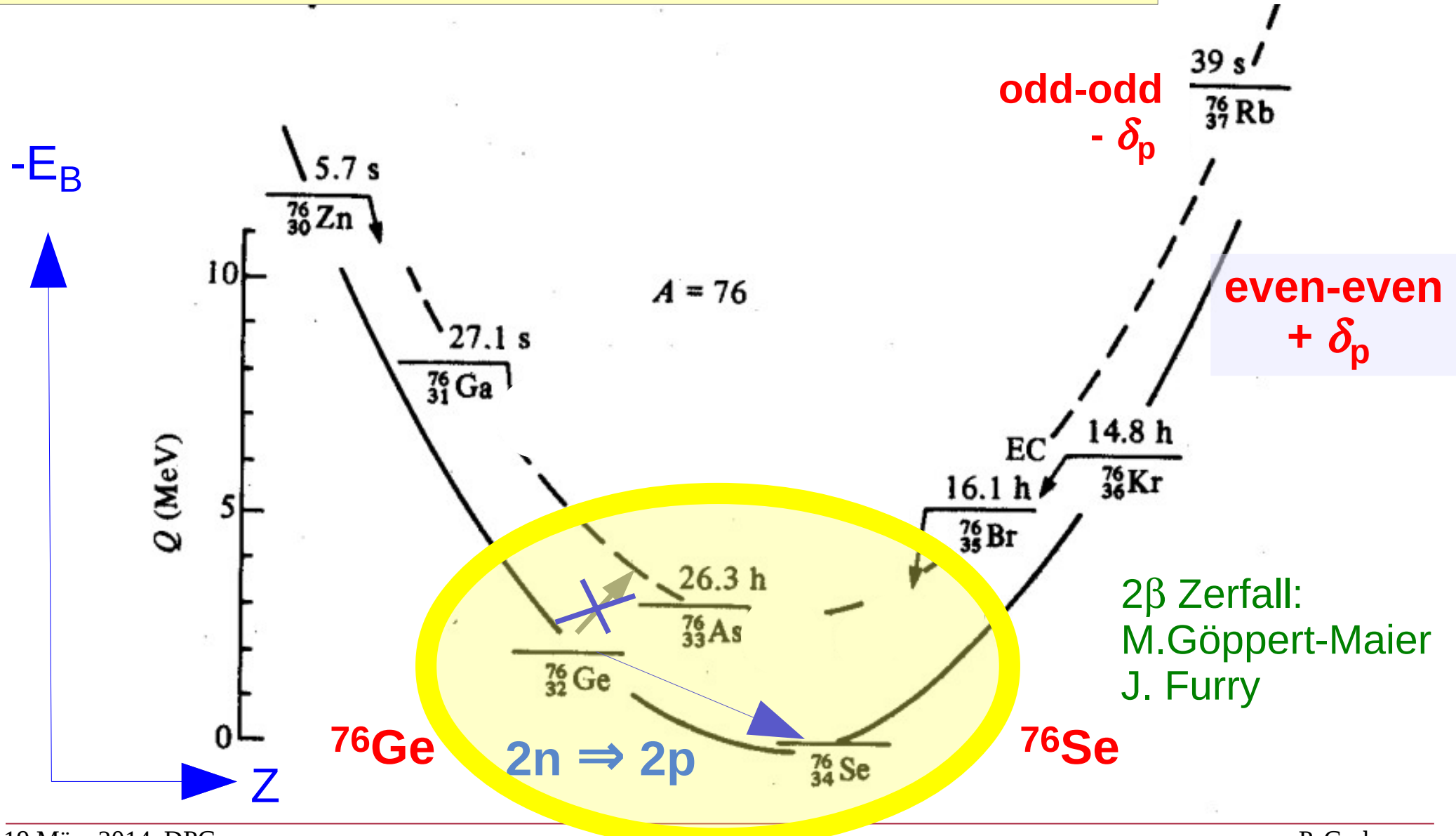
Astroteilchenphysik

Großgeräte der physikalischen
Grundlagenforschung

Bethe-Weizsäcker Massenformel

für $A = \text{const.} \Rightarrow$ Parabel

$$E_B = a_v A - a_s A^{2/3} - a_c Z(Z-1)/A^{1/3} - a_s (N-Z)^2/A +/\!-\delta_p$$

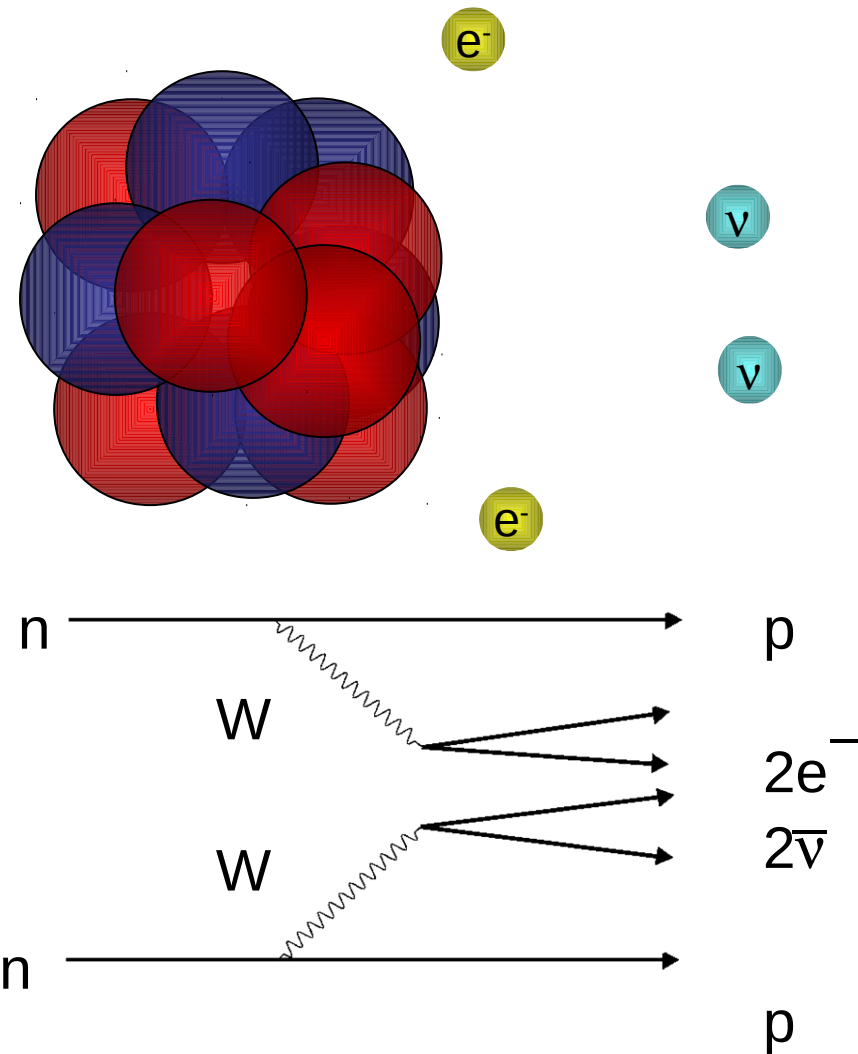


der doppelte Betazerfall

$$(A, Z) \rightarrow (A, Z+2) + 2 e^- + 2 \bar{\nu}_e$$

2nd order allowed weak process

(2νββ)



Gamow Teller

$$| M_{GT} |^2$$

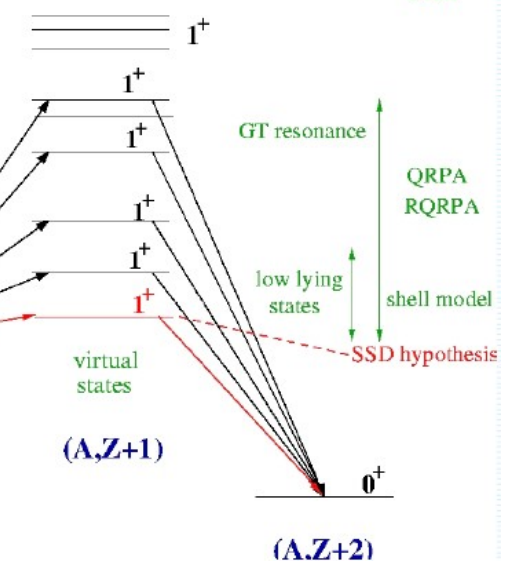
(p,n)

(n,p)

2νββ-decay

Continuum states
OEM

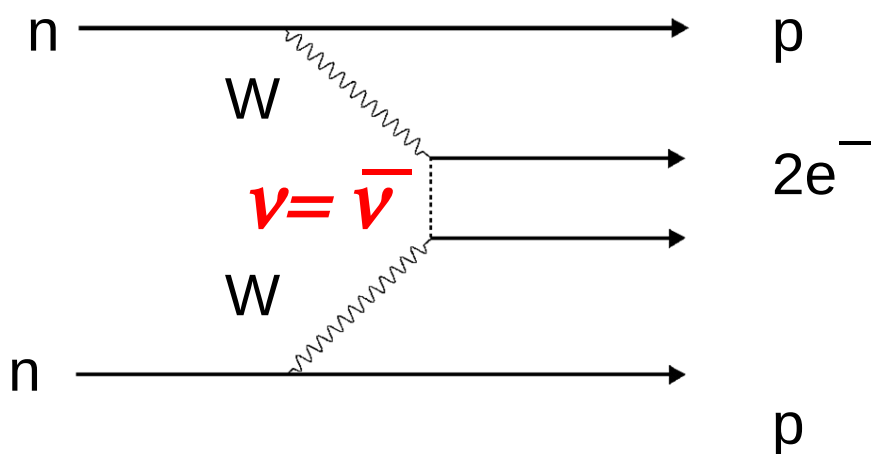
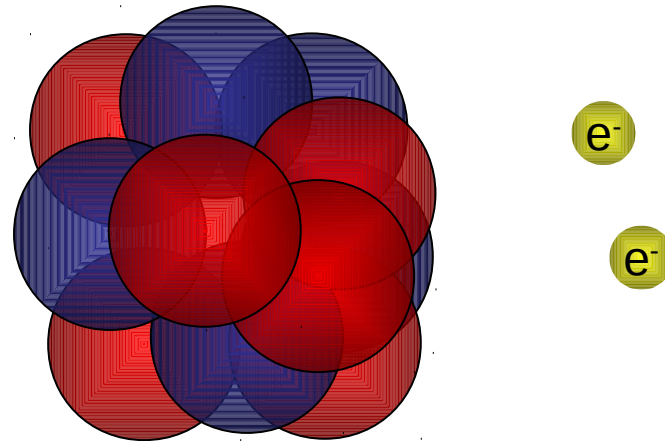
Gamow-Teller
transitions



der doppelte Betazerfall



(0νββ)



Gamow-Teller and Fermi

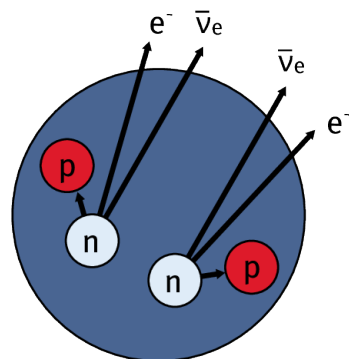
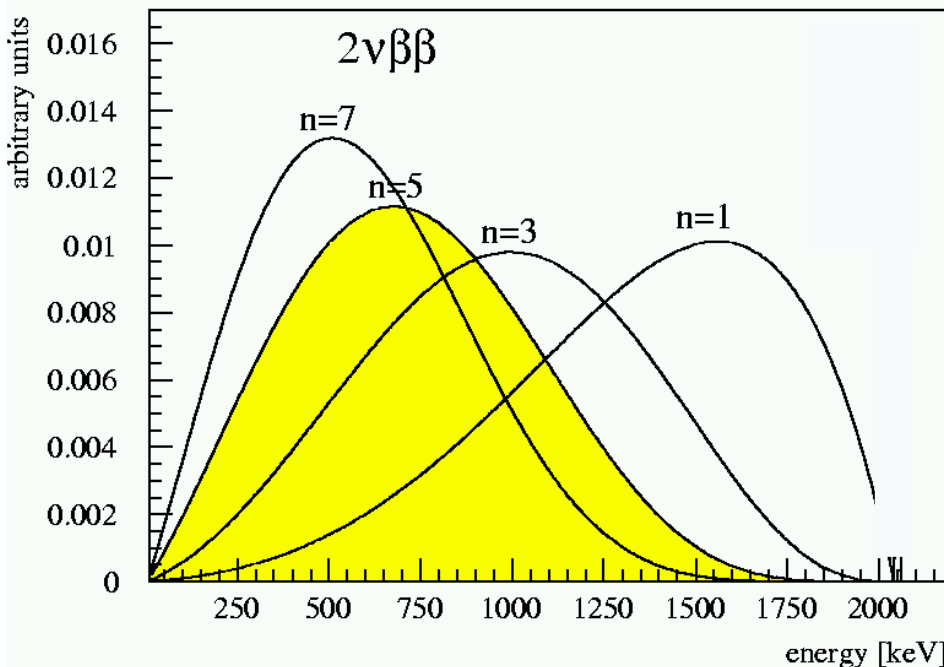
$$\left| M_F - (g_a/g_v)^2 M_{GT} \right|^2$$

neutrino = anti-neutrino
(Majorana-Teilchen)

- endliche Masse (Osz.)
- Erhaltung der Leptonzahl verletzt: $\Delta L=2$

Spektrum: Summenenergie beider Elektronen

2νββ Spektrum

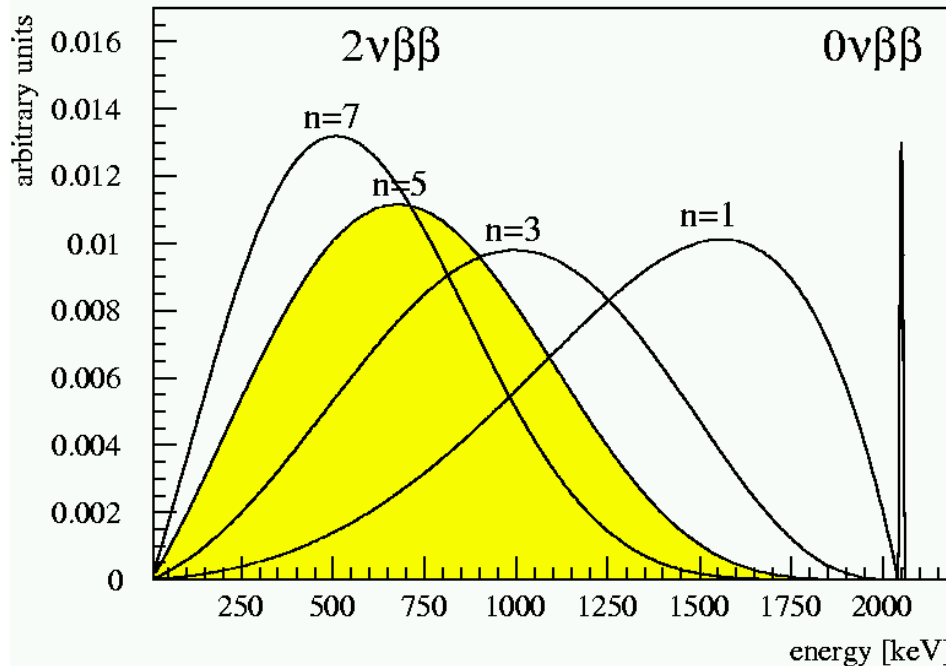


ν, Majoron,..

2νββ: $T_{1/2} \sim 10^{-21}$ yr
 $(10^{19} - 10^{24})$

Spektrum: Summenenergie beider Elektronen

$0\nu\beta\beta$ Signal: Peak bei Q-Wert der Reaktion

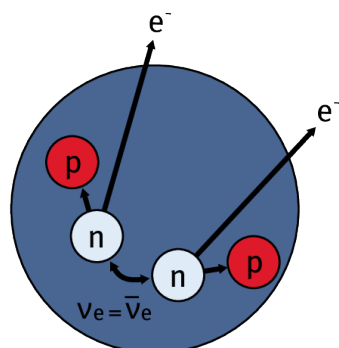


Peak vorhanden?
Majorana - Natur

Messgröße: cts \Rightarrow Halbwertszeit

“Physik jenseits des SM”

Erweiterungen des
Standard Modells



ν , Majoron,..

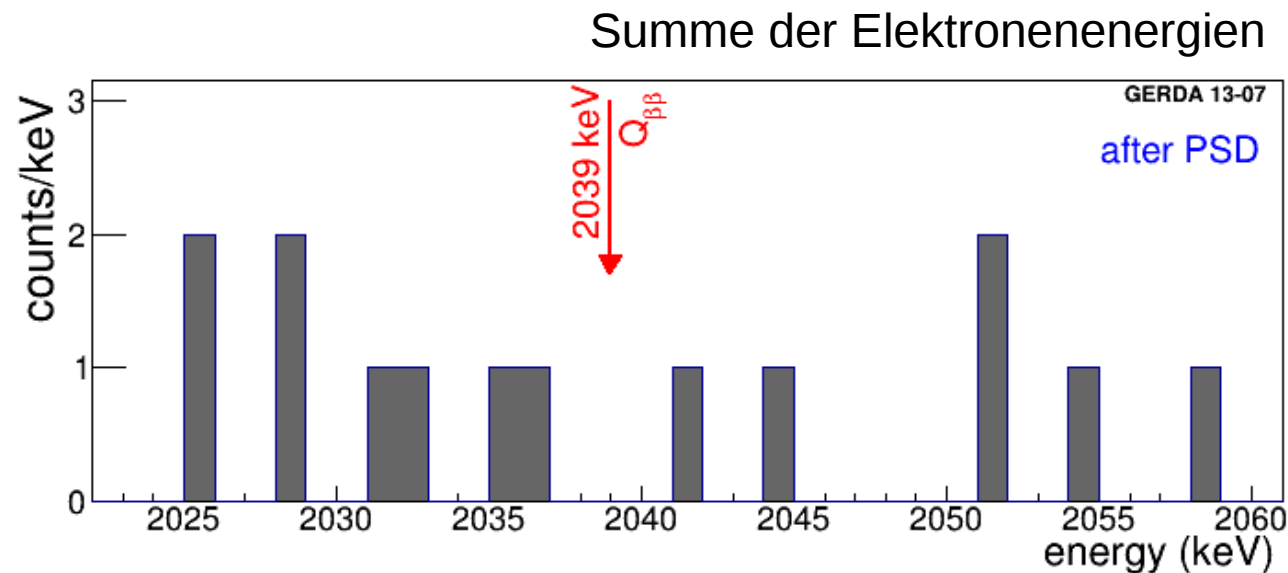
$2\nu\beta\beta: T_{1/2} \sim 10^{-21} \text{ yr}$

$0\nu\beta\beta: T_{1/2} > 10^{25} \text{ yr}$

Neutrinoloser doppelter Betazerfall

Inhalt:

- Einleitung
- Neutrinos
- $0\nu\beta\beta$ Experimente
- GERDA Experiment
- GERDA Ergebnisse
- andere Experimente
- Ausblick



2039 keV
 $Q_{\beta\beta}$ of ^{76}Ge

GERDA Phase I
 $\mathcal{E} = 21.6 \text{ kg yr}$

PRL111 (2013) 122503

Neutrinos

Teilchen des Standard Models (mit $m_\nu = 0, v_L$)

$$N_\gamma, N_\nu \gg N_p \quad (\sim 10^{-9})$$

Baryon-Asymmetrie (Materie-Antimaterie)

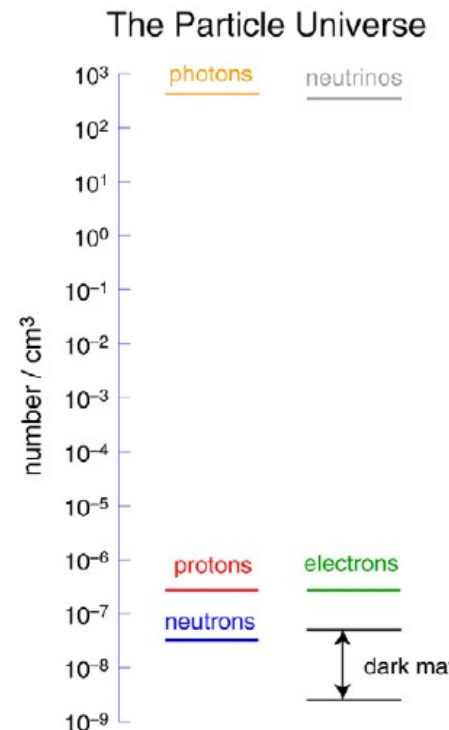
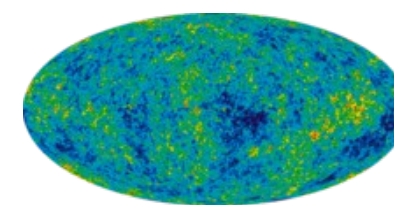
Leptogenese, CPV auch im Leptonsektor?

kosm. Neutrino-Hintergrund

(relic neutrinos wie CMB)

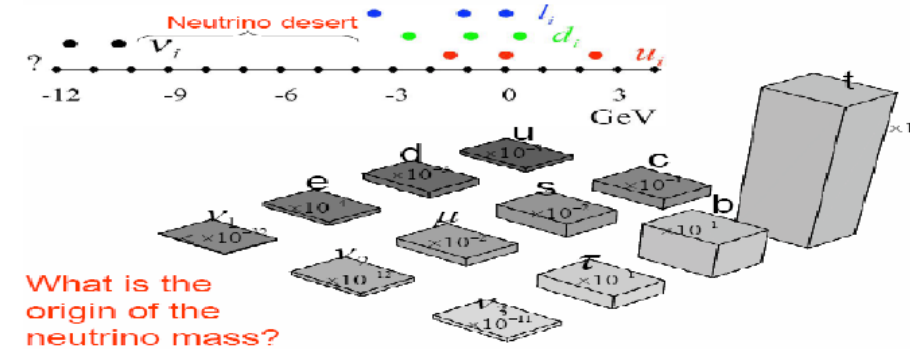
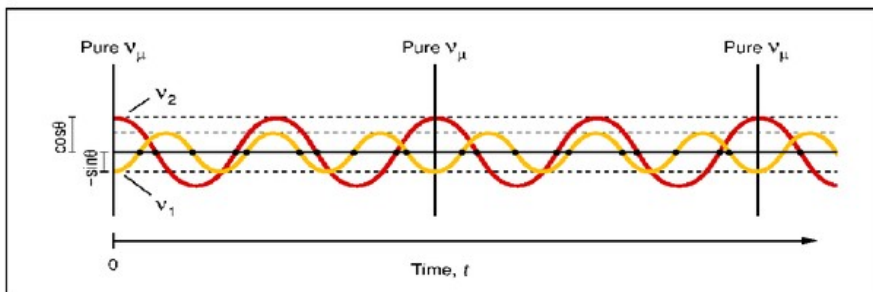
$$2 \text{ s} \quad \leftrightarrow \quad 380.000 \text{ yr}$$

kosm. Strukturbildung, Multi-Messenger



3 Flavor !? Sterile ν ?

ν : spin $1/2$, keine Ladung, links-hand., $m \neq 0$, 3 Flavor



Verständnis der Eigenschaften von ν !

absolute Massenskala, Hierarchie (KATRIN, PINGU)

größtes Interesse: ist ν vom Typ Majorana?

$$\nu \equiv \bar{\nu}$$

$0\nu\beta\beta$ Zerfall

Verletzung der Leptonzahl durch $0\nu\beta\beta$

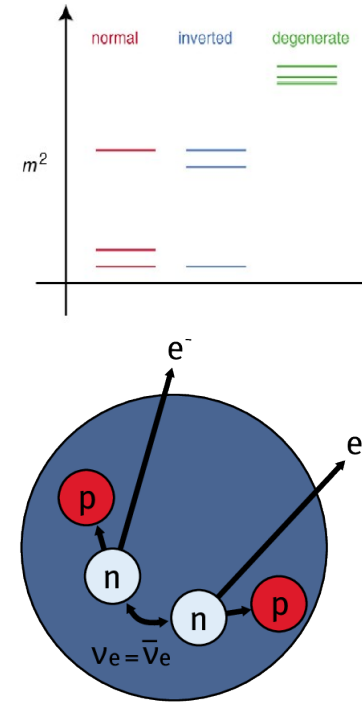
Erweiterung des Standard Modells

(Baryonasymmetrie, Leptogenese, ...)

Massenerzeugung

Mechanismus

Austausch eines leichten ν , Hinweis auf m_ν , (mittels NME)
schwere ν in LR symm. Modell, R-hand W, see-saw, Majoron,
R-Parität verletzend SUSY,
 $MEG (\mu \rightarrow e^- \gamma, \mu \rightarrow e^- e^+ e^-)$
leichter ν Austausch wahrscheinlich, falls LHC kein Signal findet





Notes from the Editors: Highlights of the Year 2013 (by APS)

Physics looks back at the standout stories of 2013.

(<http://physics.aps.org/articles/v6/139>)

Majorana Fermions Annihilate in Nanowires

nanowires sind aber Quasi-Teilchen

Dark Matter is Still Obscure

Strangers from Beyond our Solar System

Light Stopped for One Minute

Four-Quark Matter

What's Inside a Black hole?

v sind

Elementar-
teilchen



Methoden und Experimente: Nachweis der Elektronen

meist: kalorimetrisch
(Ionisation, Szintillation, Wärme) (tracking bei NEMO)

erwarten $T_{1/2} > 10^{25}$ yr

Annahme: 1 Zerfall pro Jahr : Rate $N_{\beta\beta} / t \sim 1$

$$T_{1/2} = \ln 2 \cdot (N_A / A) \cdot M \cdot (N_{\beta\beta} / t)^{-1}$$

für ${}^{76}\text{Ge}$: 2,1 kg @ 86% angereichert

Verluste: Effizienz, Untergrund...

Kosten: 1g ${}^{76}\text{GeO}_2$ für 60 €

Sensitivität $S_{1/2}$ für $0\nu\beta\beta$

$$T_{1/2} = \ln 2 \cdot (N_A/A) \cdot M \cdot (N_{\beta\beta} / t)^{-1}$$

$$N_{\text{obs}} \sim M * t \quad \text{für } b = 0$$

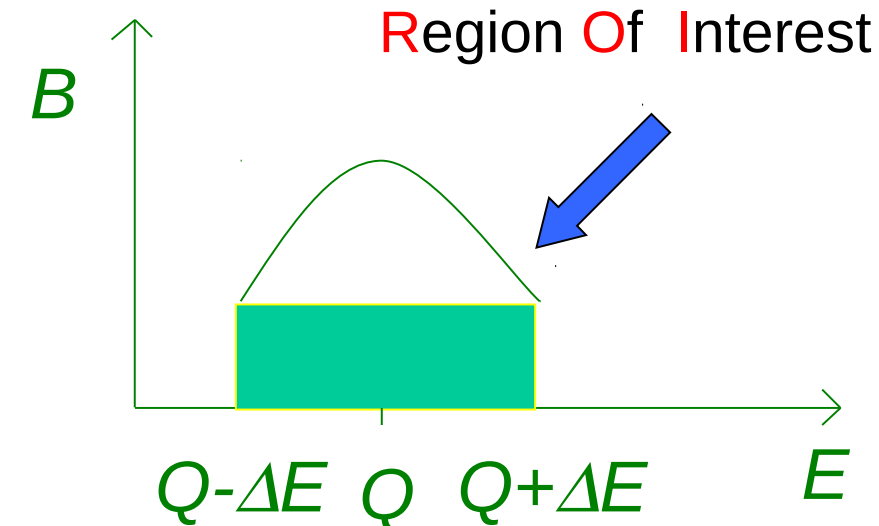
$$N_{\text{BG}} \sim M * t * \delta E * b$$

$$\text{Sensitivität} \sim N_{\text{obs}} / \sqrt{N_{\text{BG}}}$$

$$S_{1/2} \propto a * \varepsilon * \sqrt{\frac{M * t}{\delta E * b}}$$

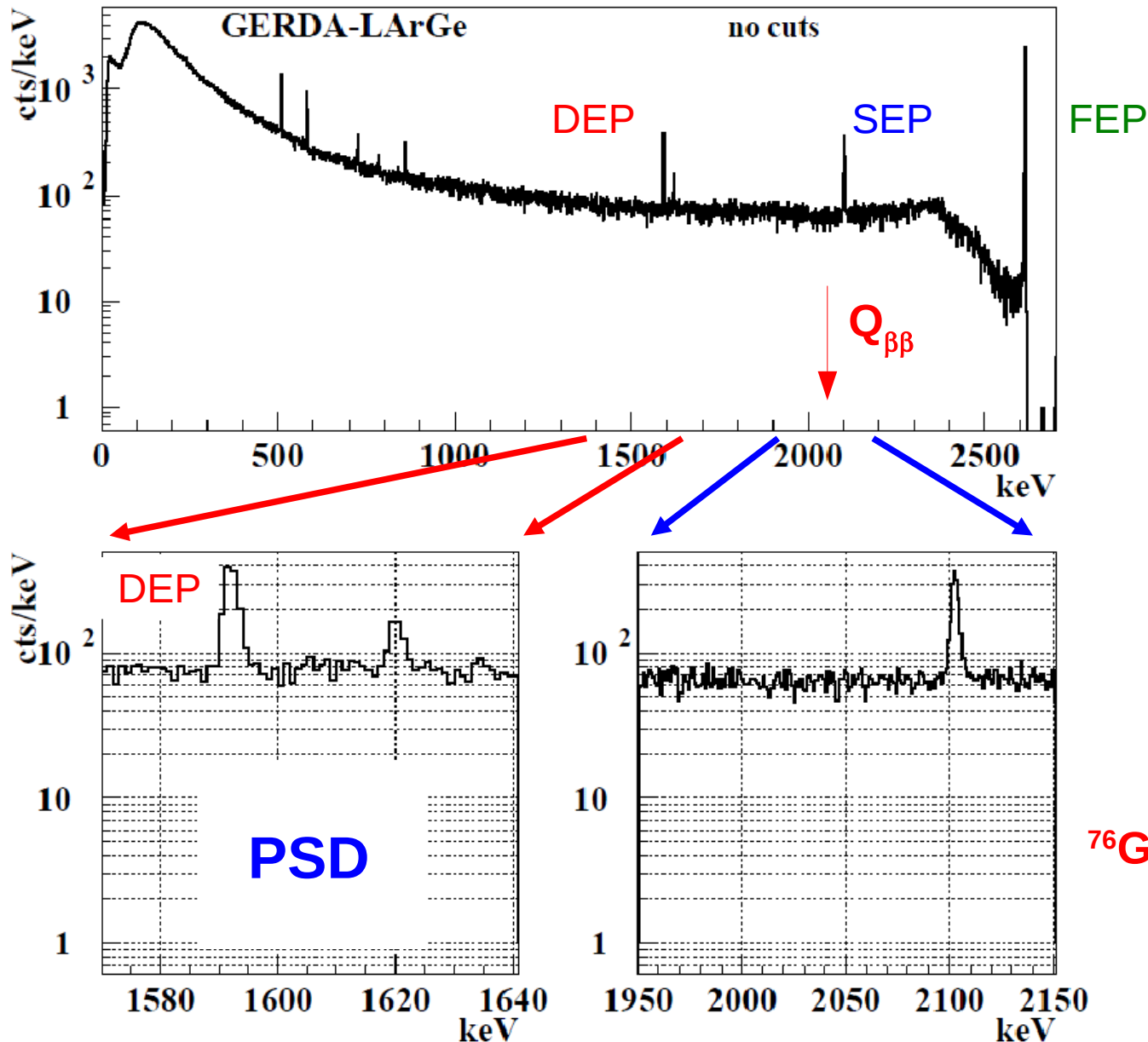
relevante Einheiten: $\text{cts}/(\text{mol yr } \delta E)$

$\text{cts}/(\text{kg yr keV})$

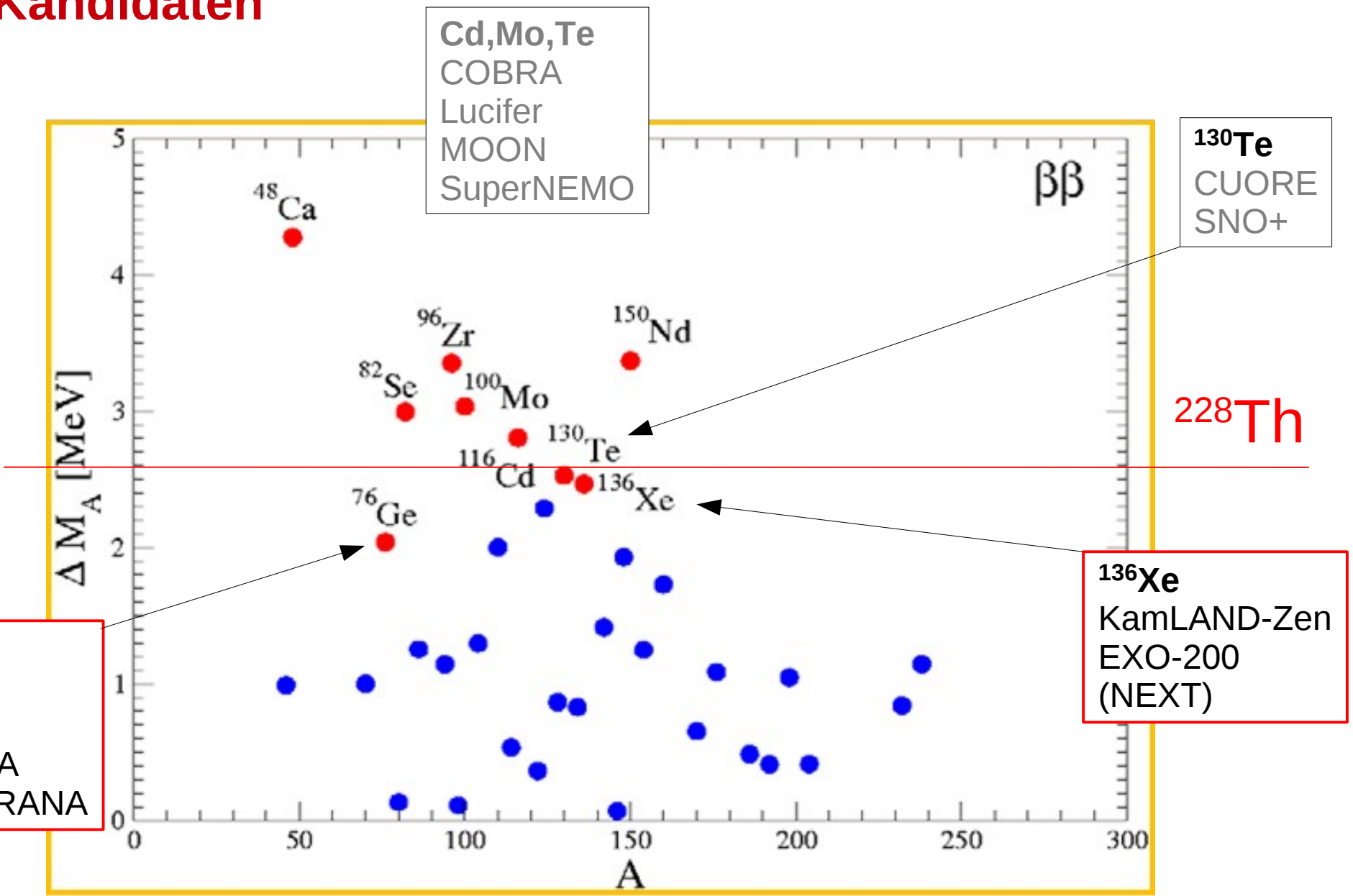


- a : isotop. Anreicherungsgrad
 ε : Nachweiseffizienz
M : Masse
t : Messzeit
 δE : Energie auflösung
b : Untergrundrate

^{228}Th Spektrum



35 Kandidaten



^{76}Ge Heidelberg-Moskau

HDM (5 Det.)

Klapdor-Kleingrothaus et al.

Phys Lett B586 (2004) 198

71.7 kg·yr

& IGEX

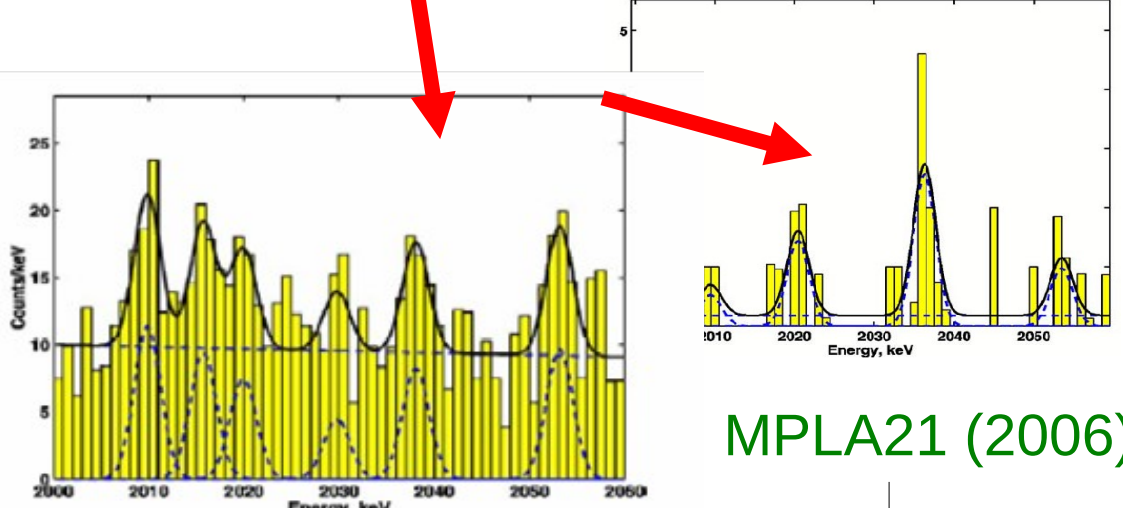
IGEX (3 Det.)

Aalseth et al.

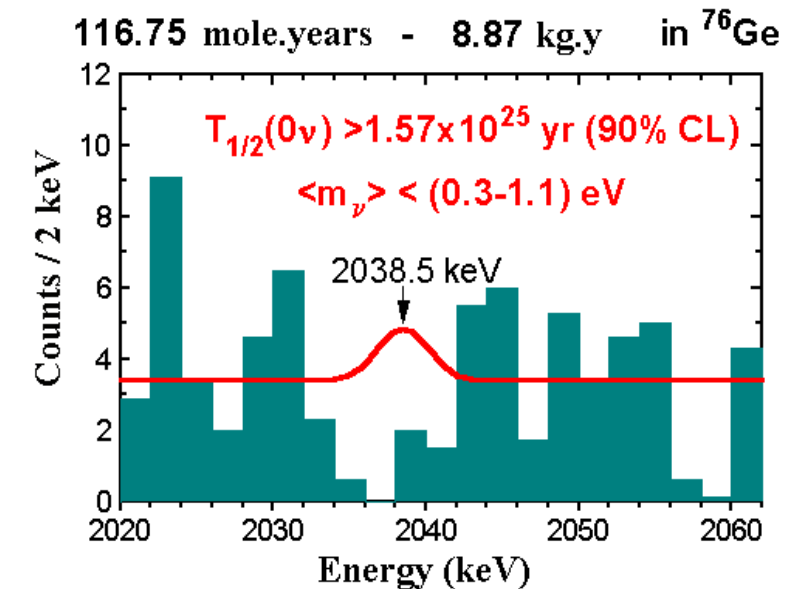
Phys Rev D65 (2002) 092007

8.9 kg·yr

$T_{1/2} > 1,9 \cdot 10^{25} \text{ yr (90\%CL)}$



$T_{1/2} > 1,6 \cdot 10^{25} \text{ yr (90\%CL)}$



Kritik: B.Schwingenheuer in Ann.Physik 525 (2013) 269



GERDA – die andere Idee

G. Heusser, Ann. Rev. Nucl. Part. Sci. 45 (1995) 543

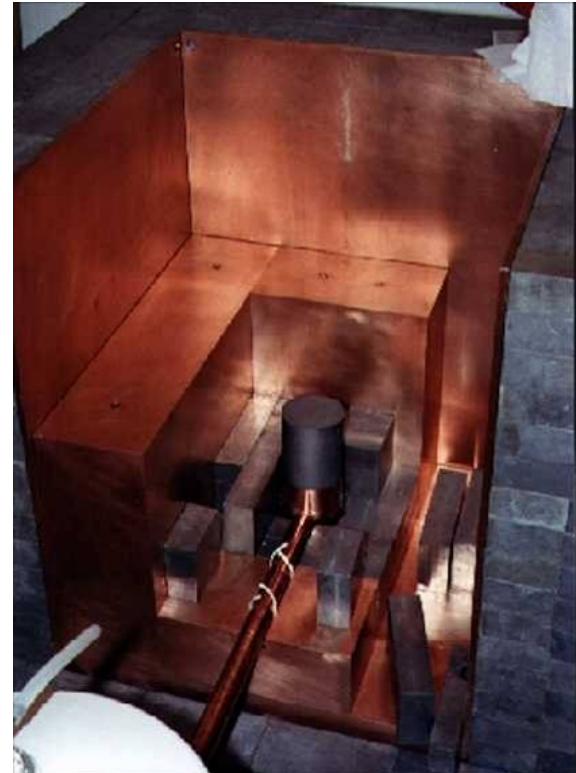
“.. Material mit kleinem Z rund um Detektor...”

“...Ge Diodes direkt in Kühlflüssigkeit montieren”

Anreicherung an ^{76}Ge
Selektion der Materialien
kosm. Muon Unterdrückung
FE-Elektronik
Pulsform-Analyse

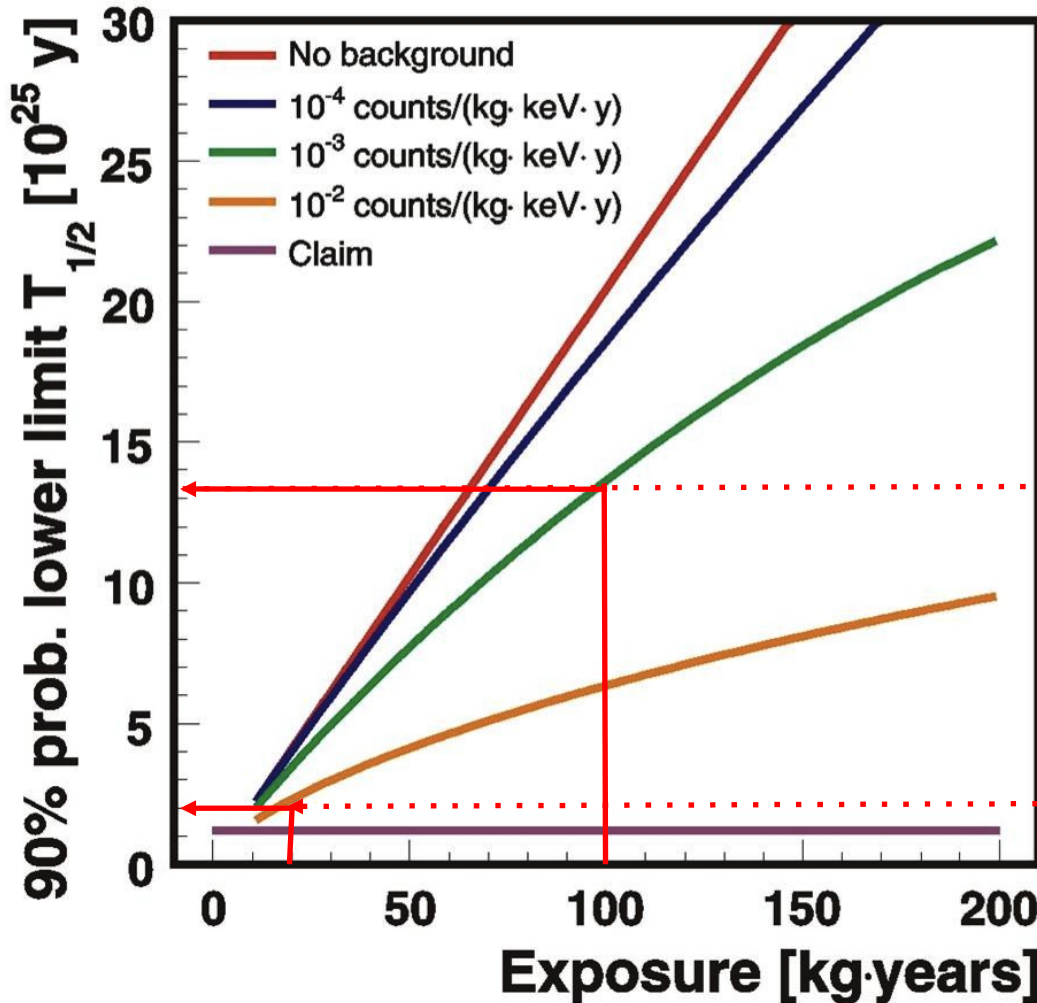
Phase I: Proof of Principle
 $\text{FWHM} < 5 \text{ keV} \text{ & BI} \sim 10^{-2} \text{ cts/(keV}\cdot\text{kg}\cdot\text{yr)}$

Phase II: verbesserter BI $\curvearrowright T_{1/2}$
 $\text{FWHM} < 3 \text{ keV} \text{ & BI} \sim 10^{-3} \text{ cts/(keV}\cdot\text{kg}\cdot\text{yr)}$



→ HdM, Majorana: kompakte, klassische Abschirmung

Sensitivität



Phase II:

neue enr. BEGe Detektoren (20 kg)
 $BI \approx 0.001$ cts / (keV kg yr)
 $\delta E \sim 3$ keV (FWHM)

Sensitivität nach 100 kg yr

Phase I:

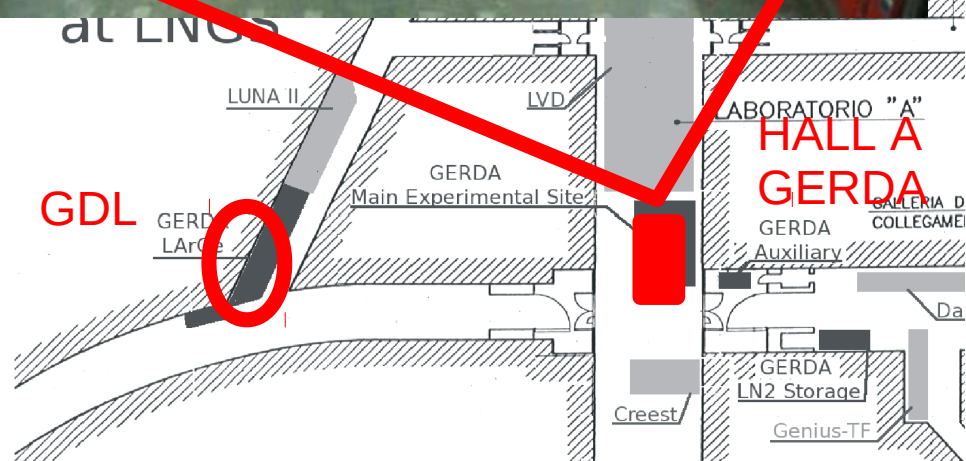
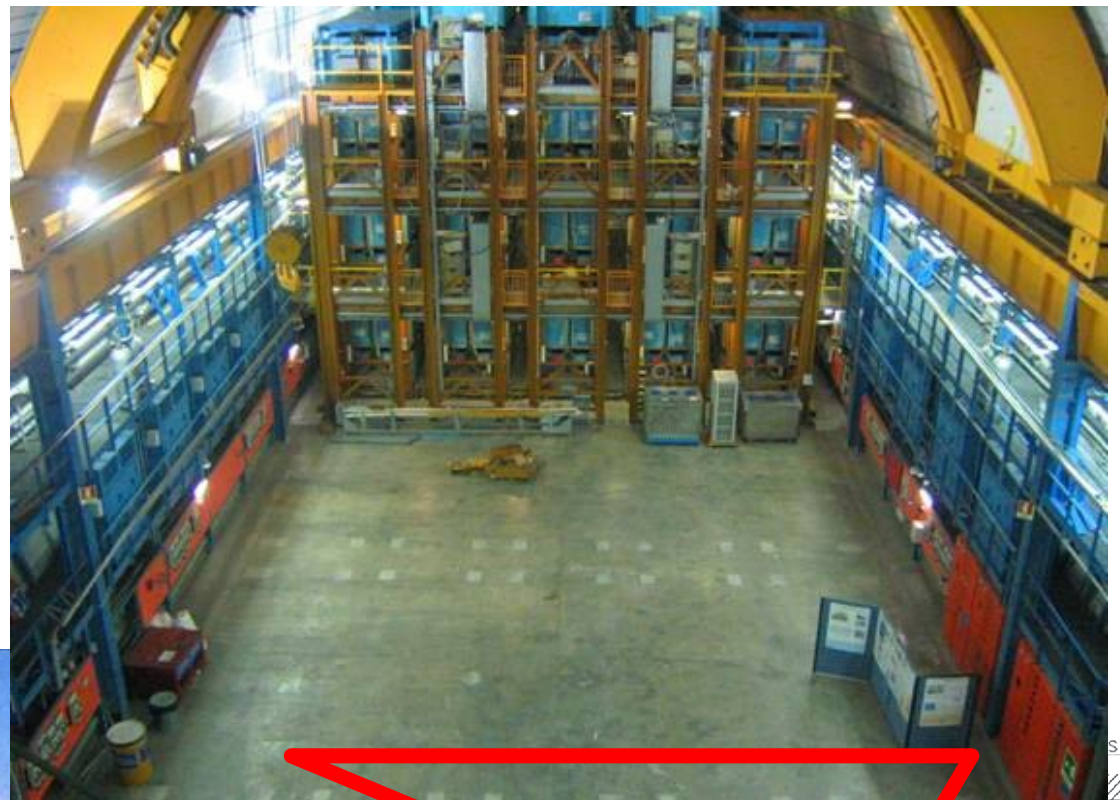
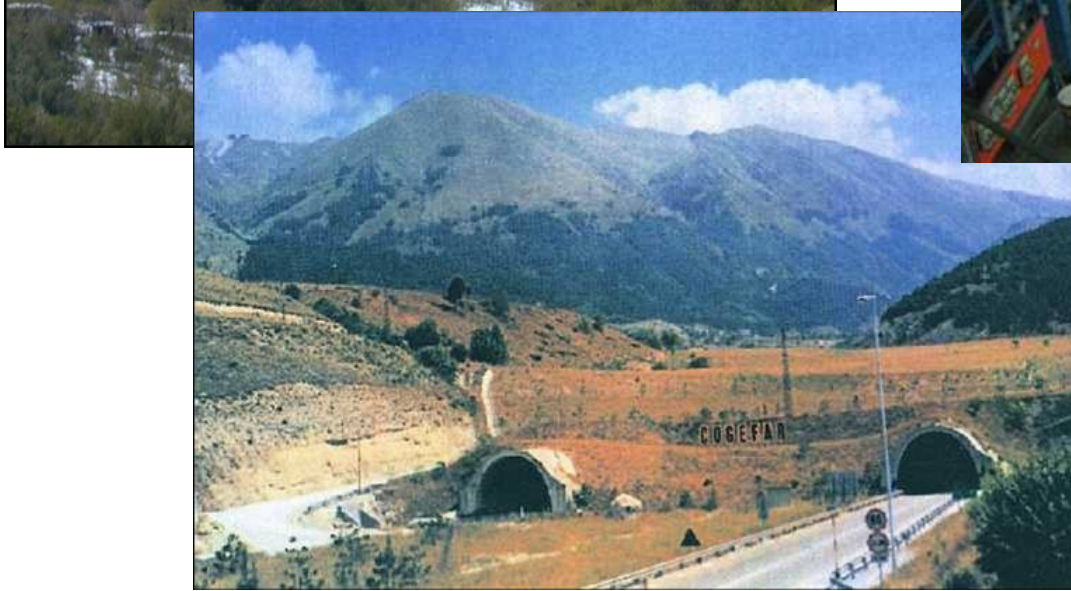
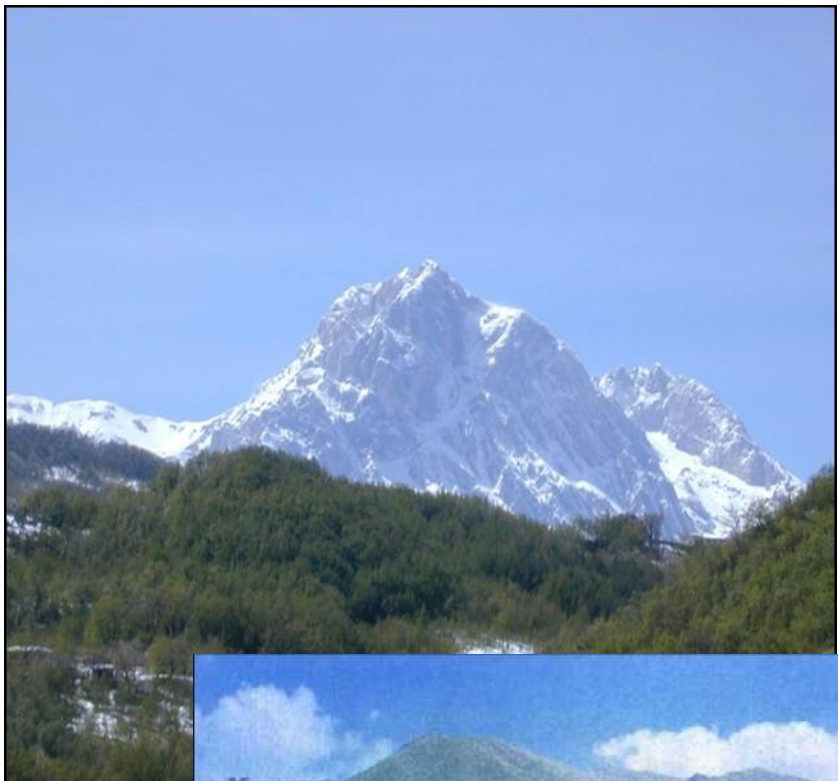
überarbeitete HdM & IGEX (18 kg)
 $BI \approx 0.01$ cts / (keV kg yr)
 $\delta E < 5$ keV (FWHM)

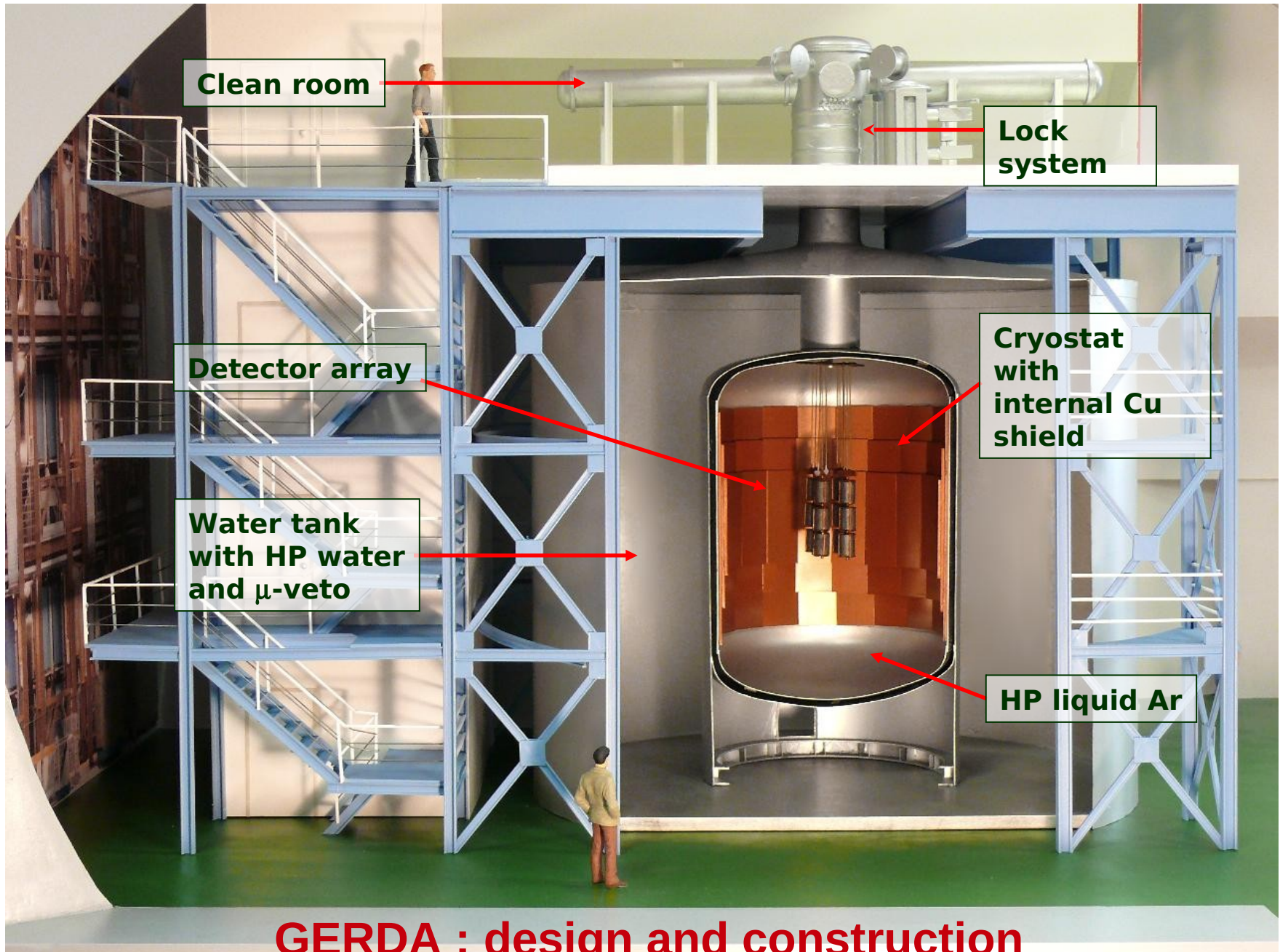
Sensitivität nach 20 kg yr

claim 2004



GERDA @ LNGS





GERDA : design and construction

proposal 2004

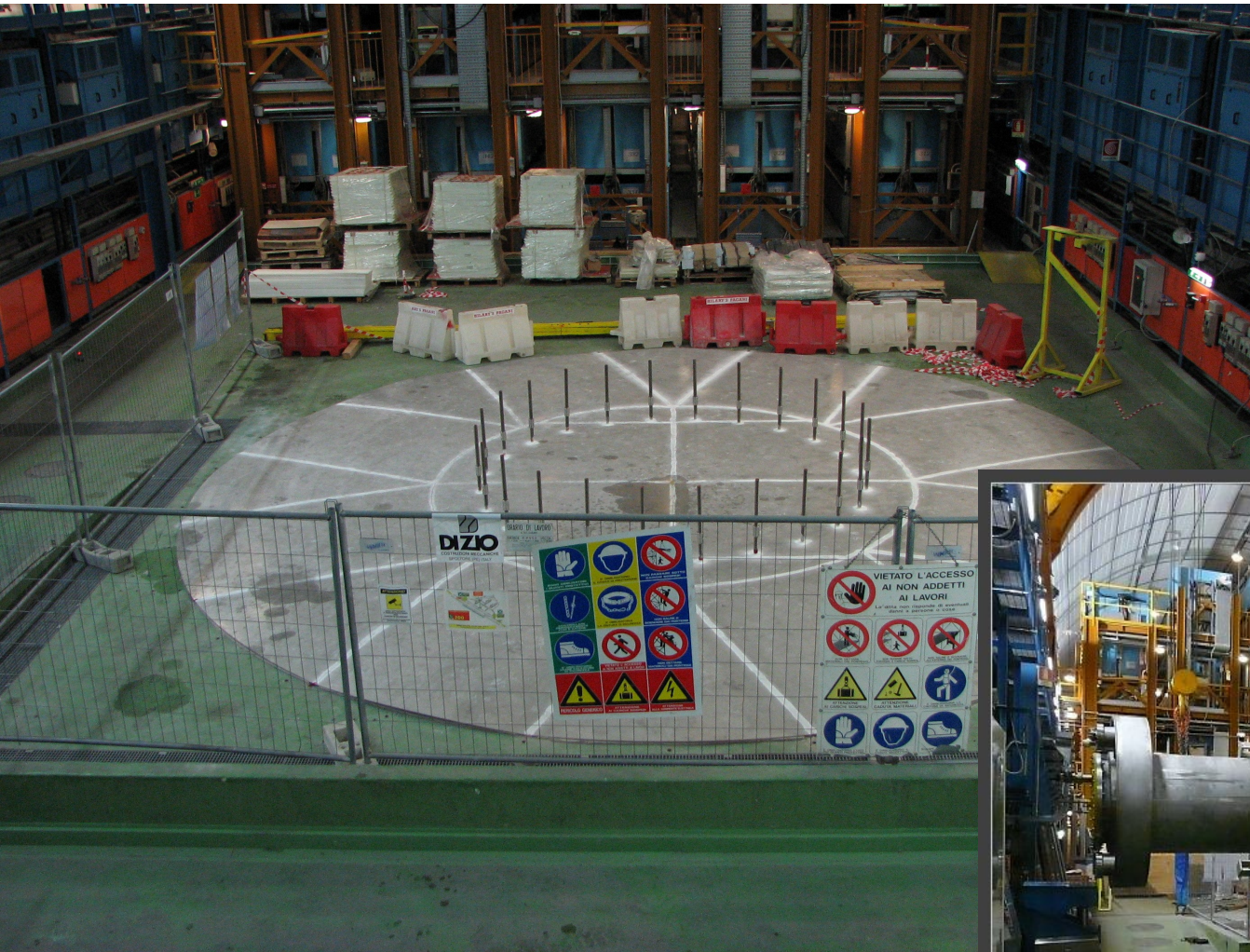
19.März 2014, DPG

Kristalle vergrößert

P. Grabmayr



Aufbau @ LNGS

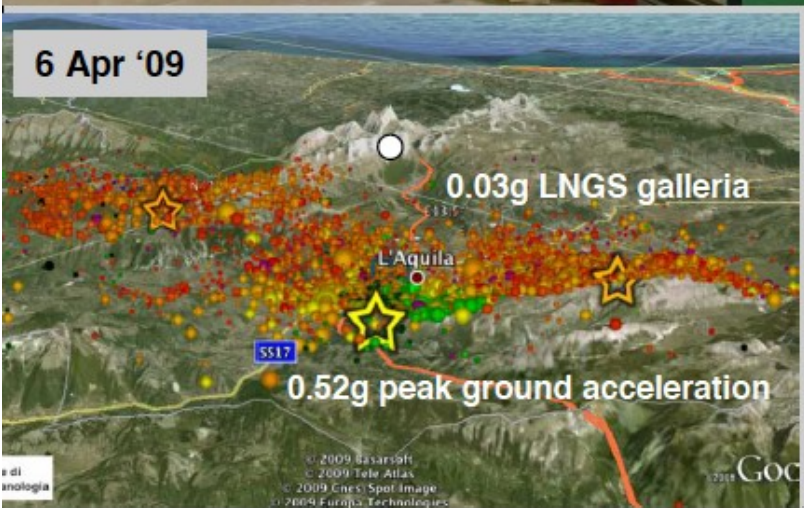


Februar 2008



März 2008

Der Aufbau von GERDA 2008-2010



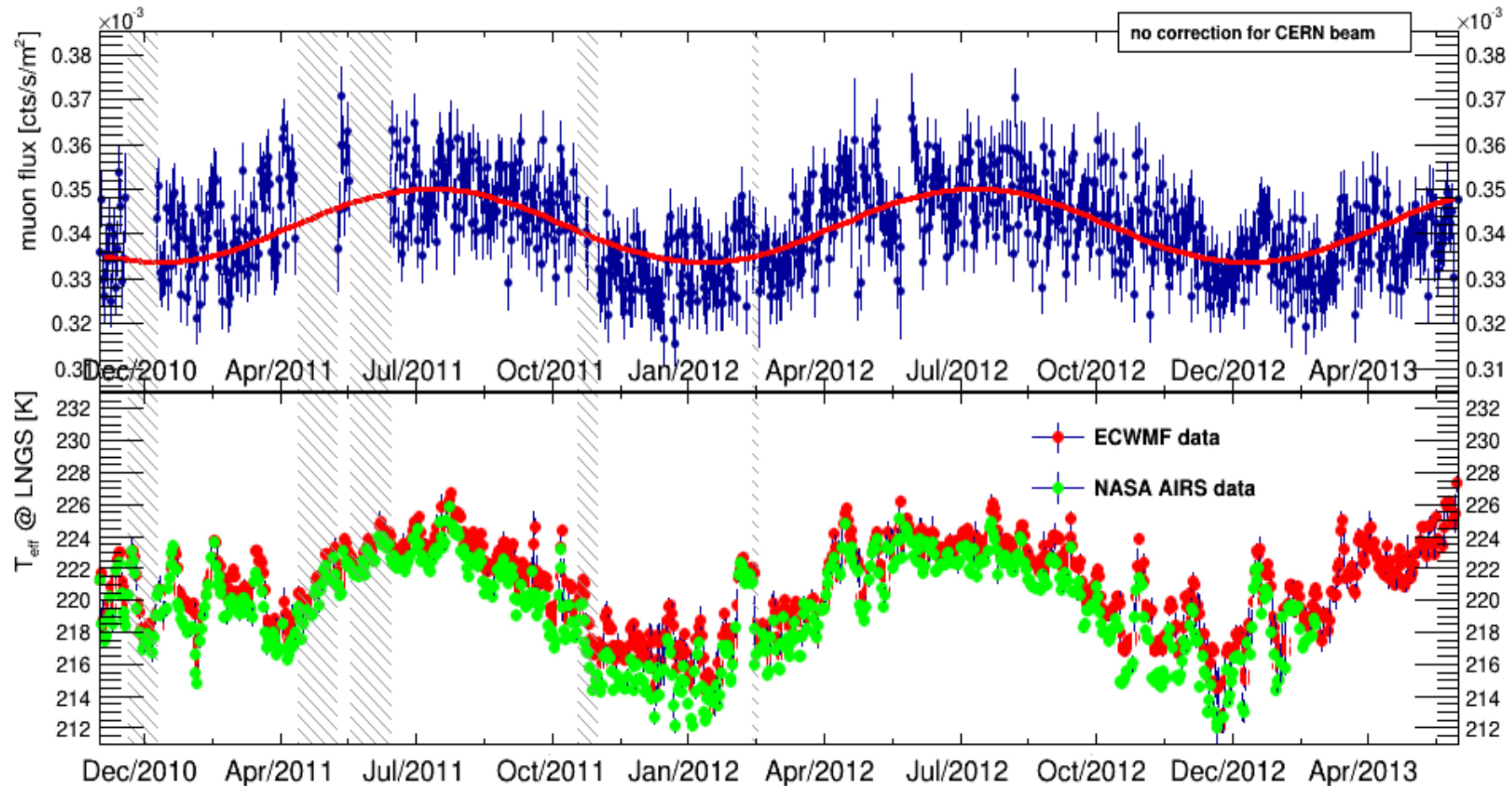
Cryostat filled since December 2009



Multiplizität der 66 Cherenkov PMT

3 Ausfälle in 3 yr

muon rejection efficiency $\varepsilon > 97 \%$

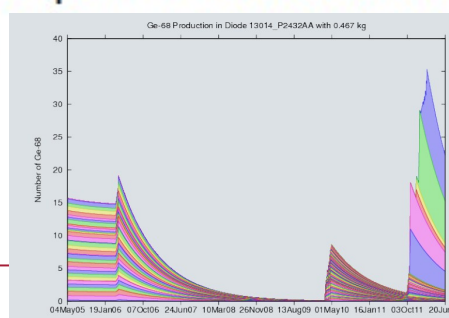


Path of new 37.5 kg of enrGe (86% enrichment in 76Ge): from isotope separation to final Phase II detectors



To minimize activation by cosmic ray:

- Transportation by truck or ship in shielded containers
- deep underground storage





Montage der Ge Dioden

Tests in LArGe



Distanz zwischen Diode und FE-Vorverstärker



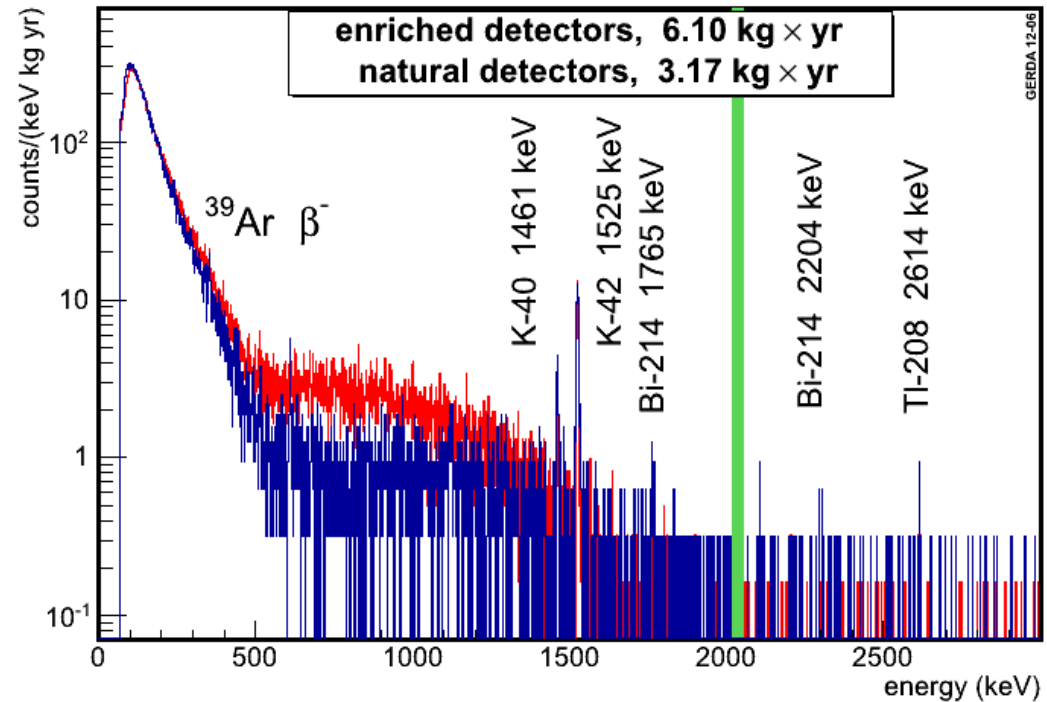
^{42}Ar Untergrund (β & γ)

GERDA proposal:

^{39}Ar : 1.01 Bq/kg (NIM A 574)

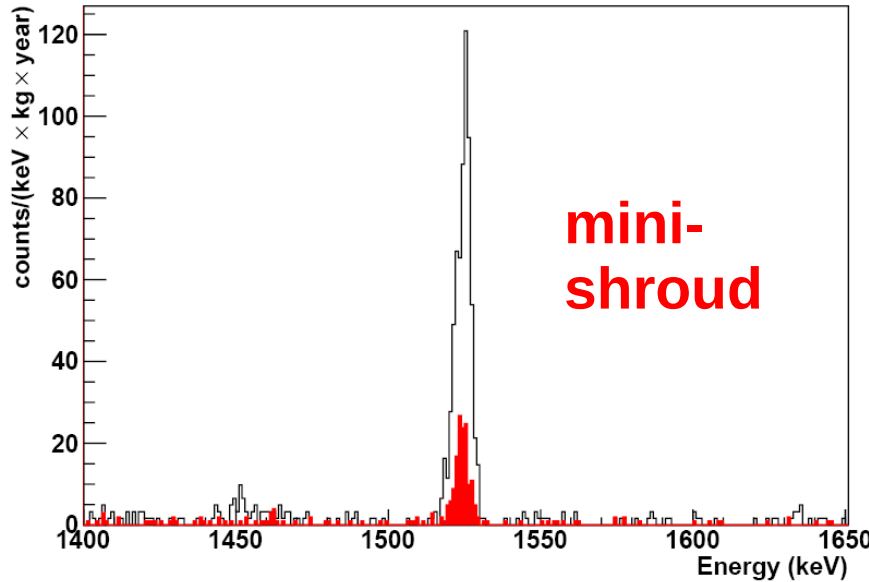
$^{42}\text{Ar}/\text{nat Ar} < 3 \cdot 10^{-21}$ (90% C.L.)

Barabash et al (2002)

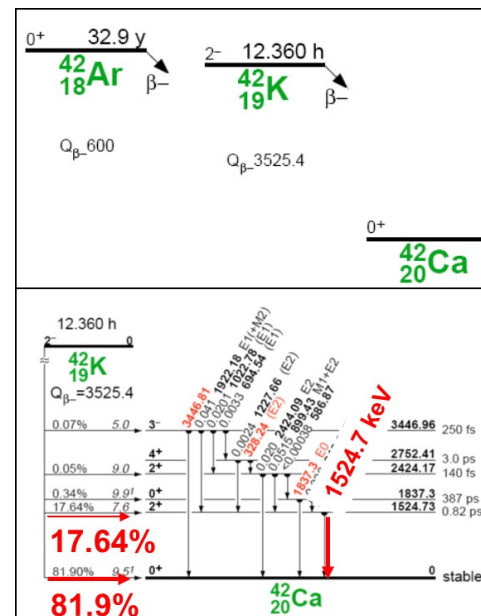


GERDA Daten:

$^{42}\text{Ar}/\text{nat Ar} \sim 7 \cdot 10^{-21}$



mini-shroud



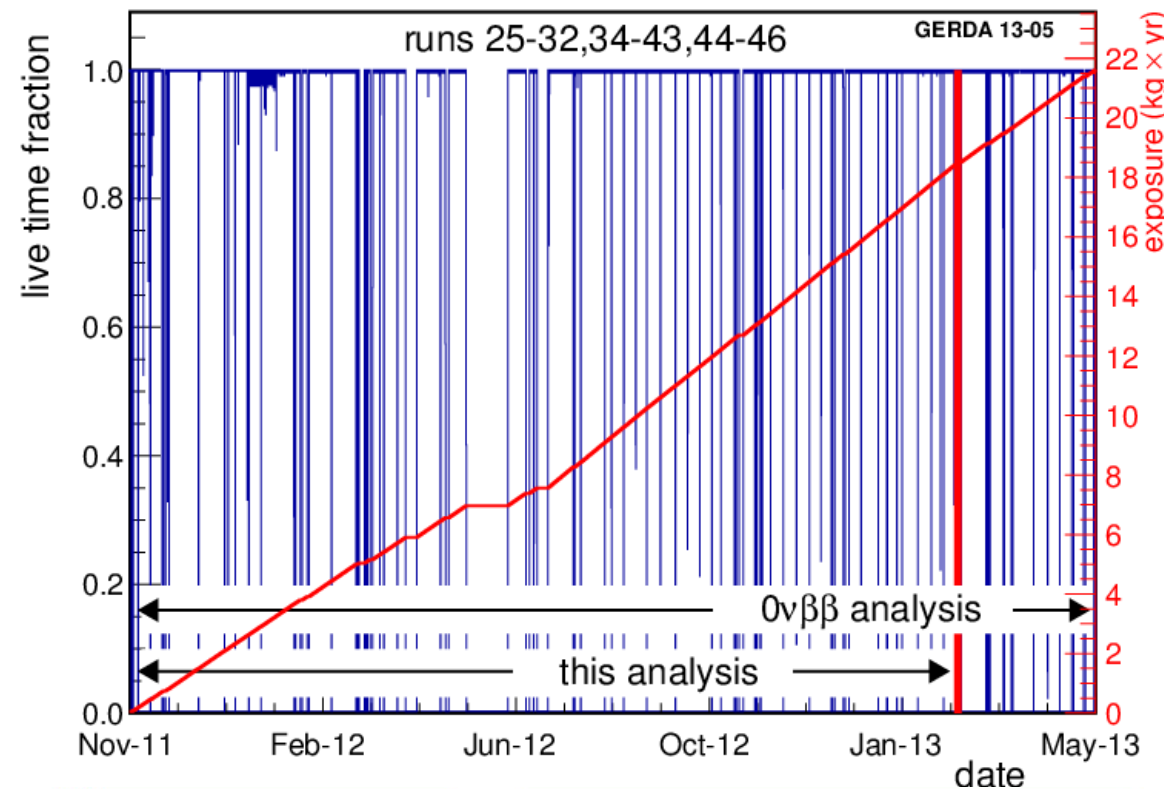
Einbringen von 11 Detektoren im Oktober 2011 (8 +3)



2 'angereicherte' Detektoren hatten sofort Probleme
(großer Leckstrom) kein Beitrag zur Analyse

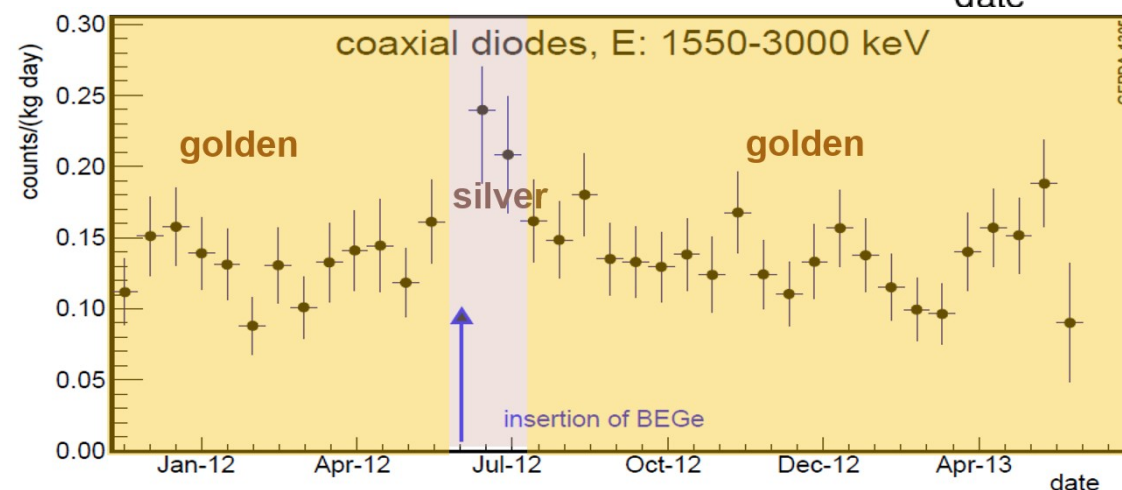
6 'angereicherte' Detektoren mit 14.6 kg (totaler) Masse
3 'natürliche' Detektoren mit 7.6 kg (totaler) Masse

zusätzlich 5 BEGe Detektoren

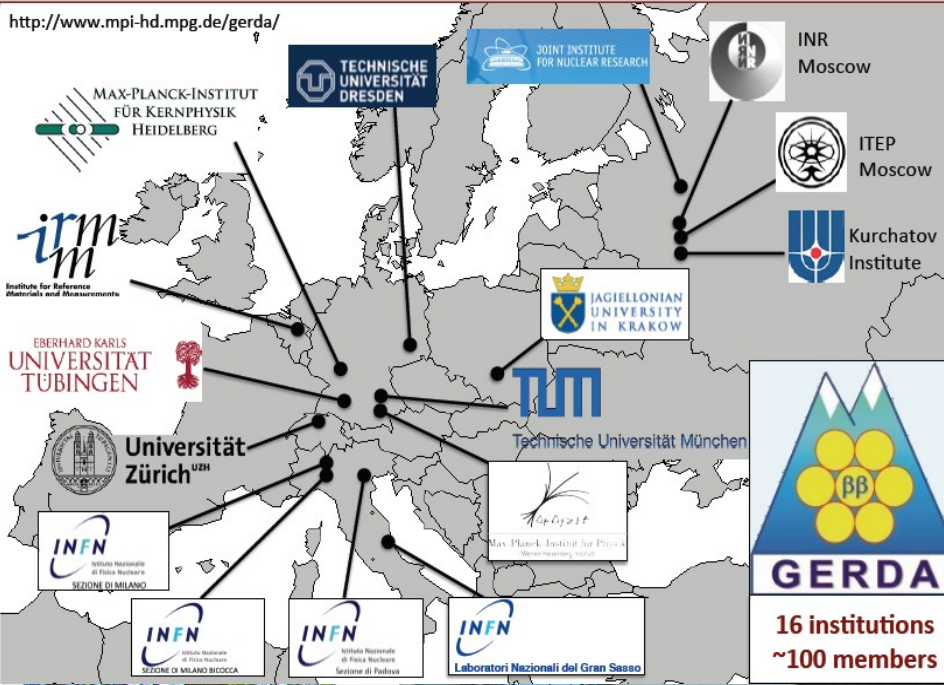


wöchentliche
Kalibration
mit ^{228}Th

duty 88%



3 data sets:
golden
silver
BEGe



at, Kepler Center for Astro and Particle Physics

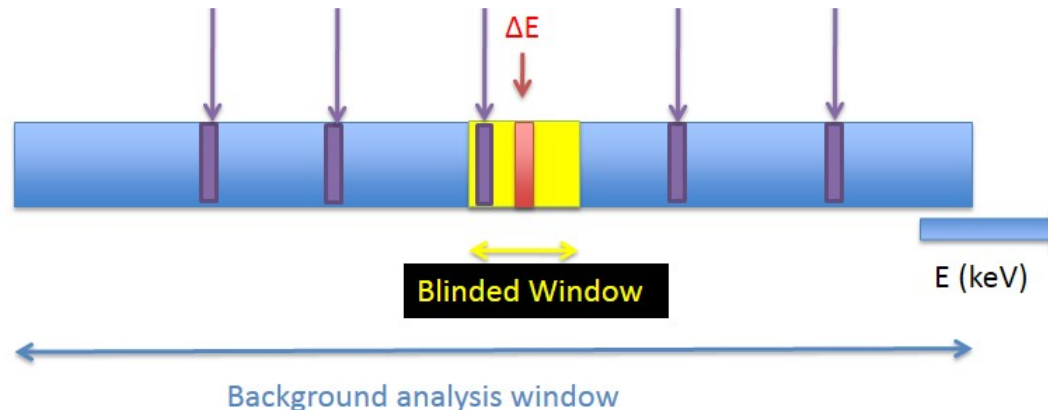


Dubna, Juni 2013



Blind-Auswertung & Publikationen

blinding im Bereich $Q_{\beta\beta} \pm 20$ keV



EPJC 73 (2013) 2330 das GERDA Experiment (setup)

JPG 40 (2013) 035110 $T_{1/2}^{2\nu} = 1.84^{(+14/-10)} \times 10^{21}$ yr

EPJC 74 (2014) Untergrund & Modelle arXiv:1306.5084

EPJC 73 (2013) 2583 PSD: pulse shape für coax & BEGe

Fixing der Parameter & Prozeduren @ Dubna meeting June 2013)

Spektren ohne / mit PSD geöffnet @ Dubna (rotes Fenster ΔE)

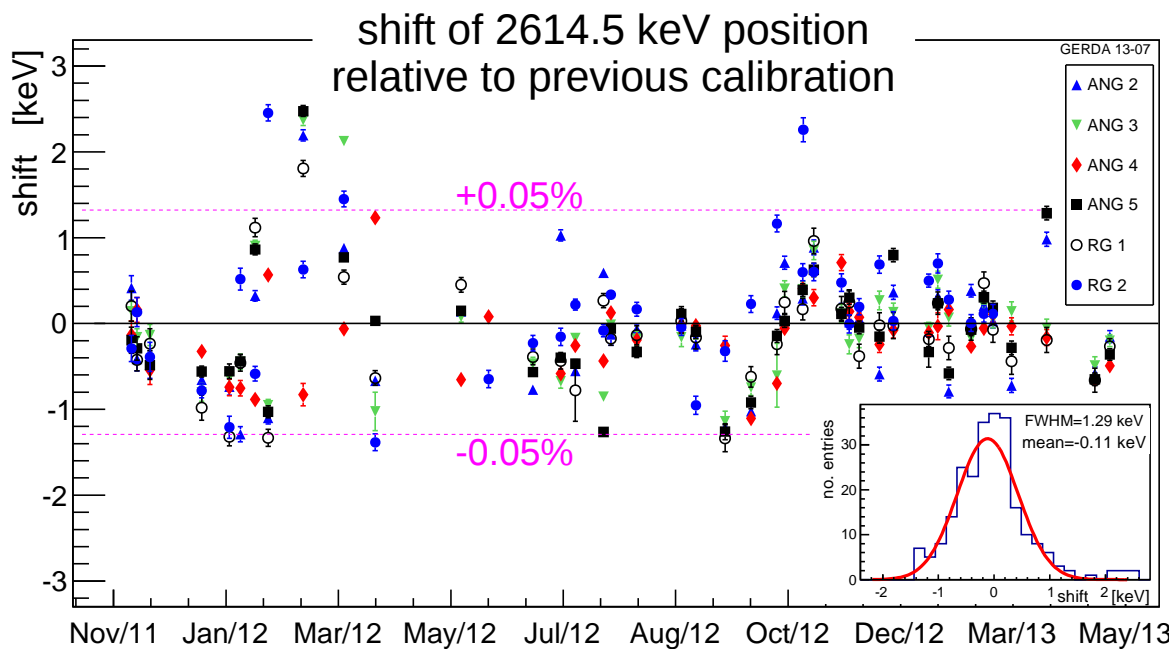
PRL 111 (2013) 122503 Limit for $T_{1/2}^{0\nu} > 2.1 \cdot 10^{25}$ yr (90% C.L. frequentist)

Kalibration & Analysekette

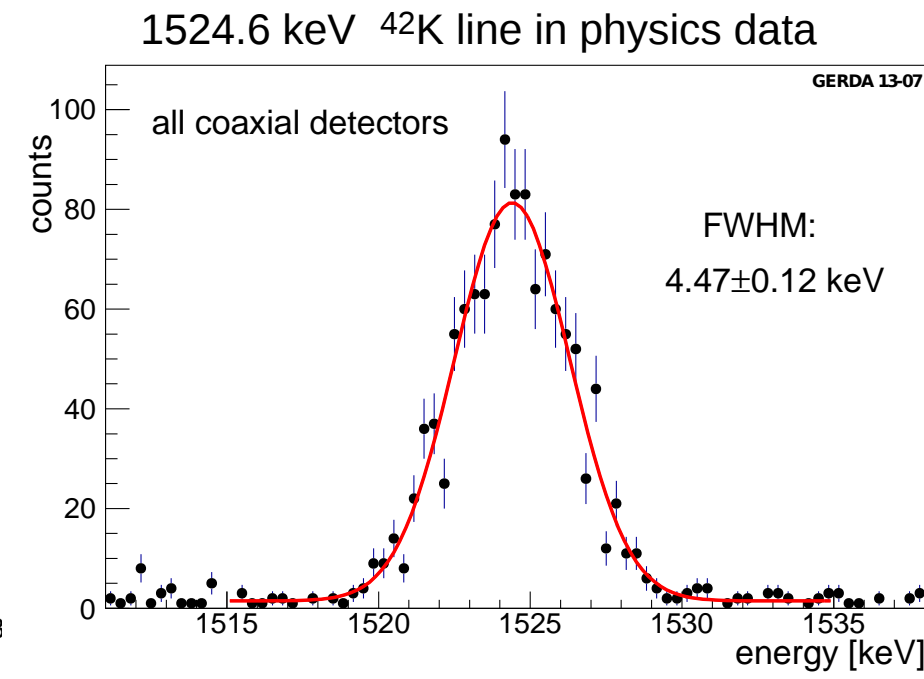
processing: diode → amplifier → FADC → filter → energy, rise time, PSD

selection: anti-coincidence muon / 2nd Ge (~20% rejected, @ $Q_{\beta\beta}$),
quality cuts (~9% reject), pulse shape discrimination (~50% reject)

calibration: ^{228}Th (bi)weekly & pulser every 20 seconds for short term drifts



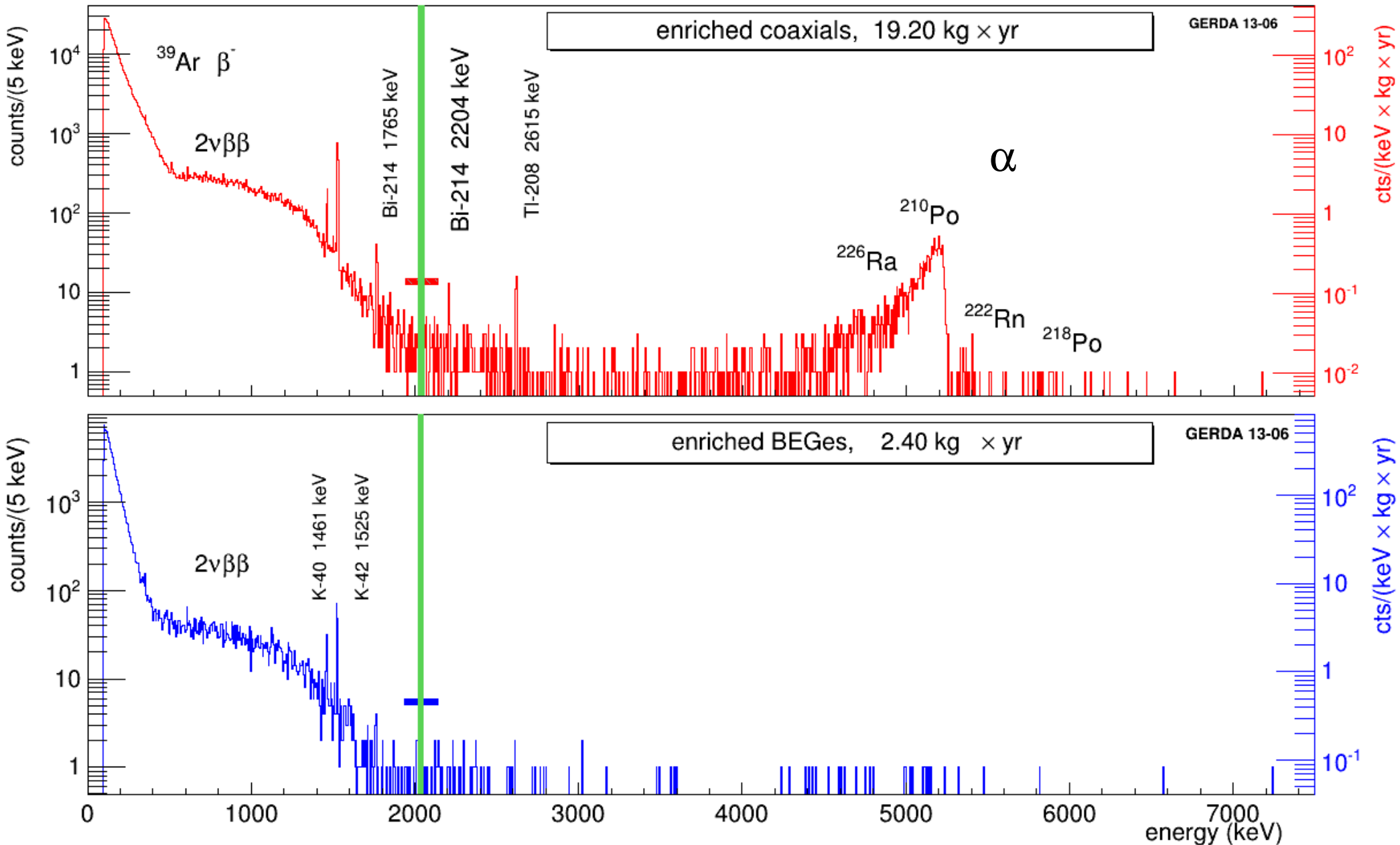
shifts are small compared to FWHM $\sim 0.2\% Q_{\beta\beta}$



FWHM $\sim 4\%$ larger than expected from calibration data

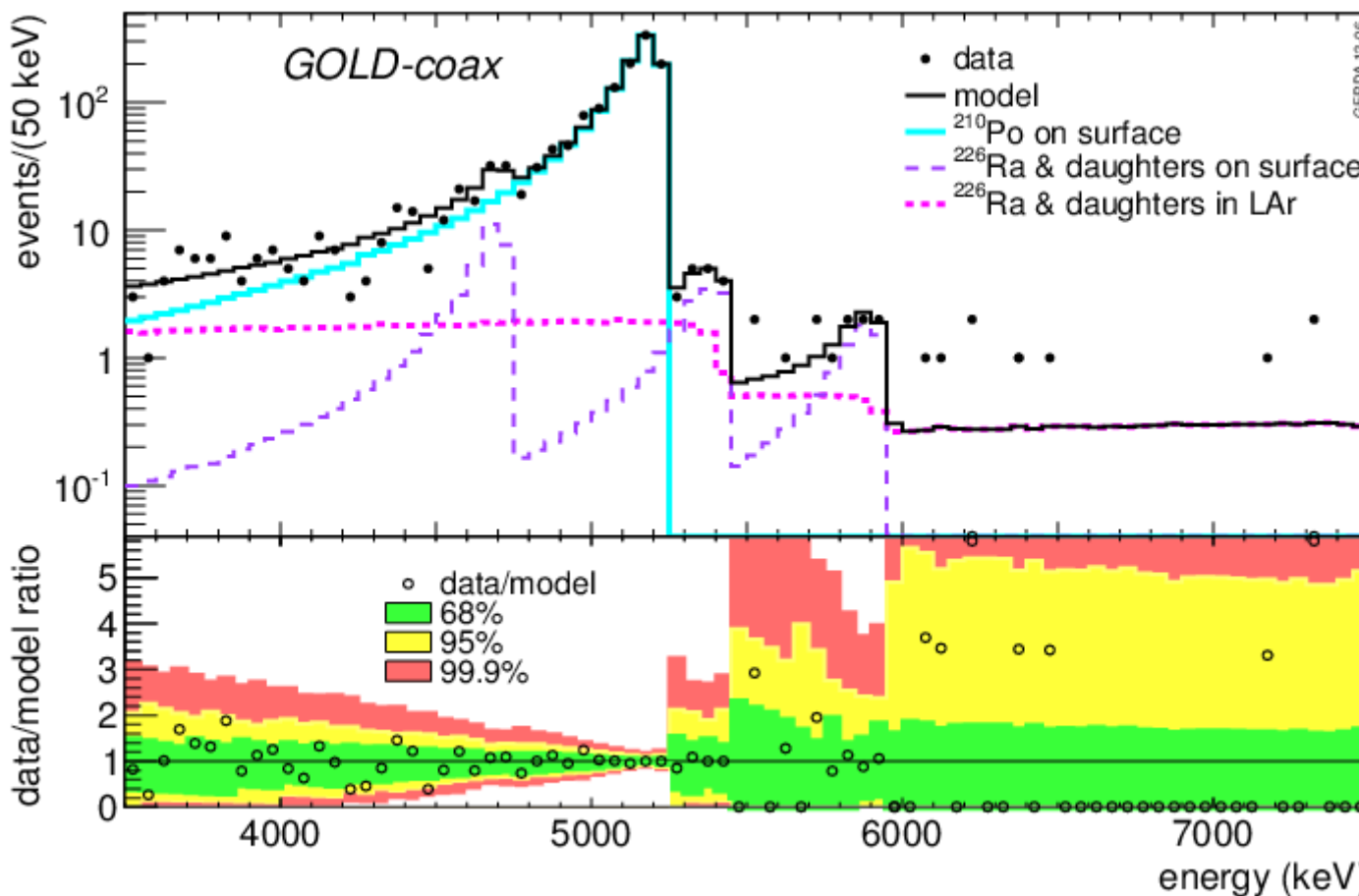
Spektren

(Summen-Energie)

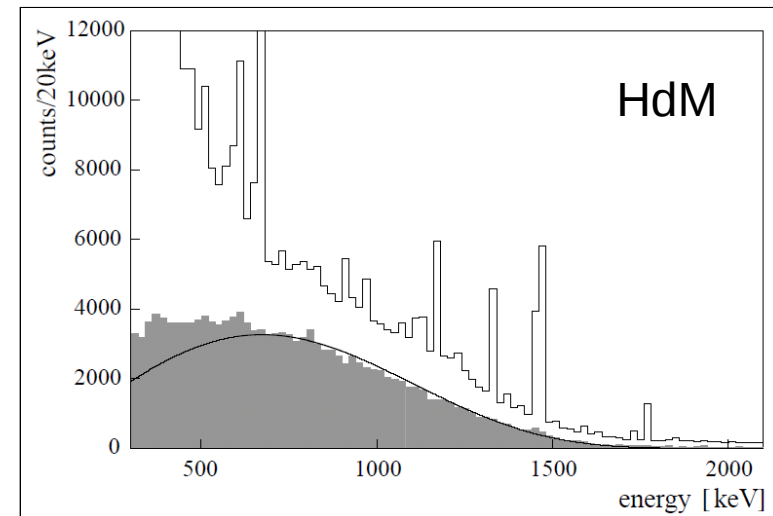
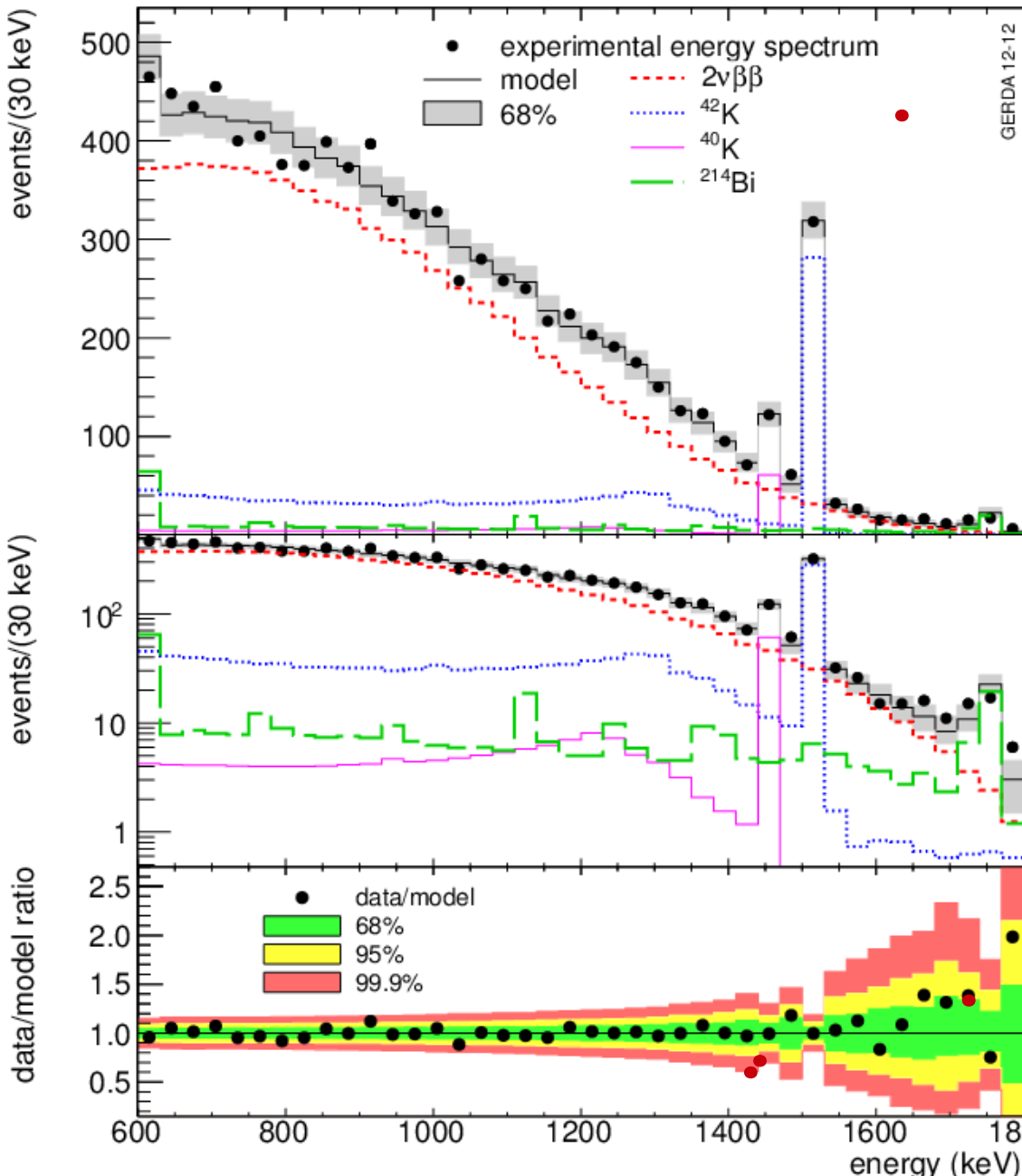


Untergrund: α & γ

isotope	energy [keV]	enrGe (6.10 kg yr)		HDM (71.7 kg yr) rate [cts/(kg yr)]
		tot/bck [cts]	rate [cts/(kg yr)]	
^{40}K	1460.8	125/42	$13.5^{+2.2}_{-2.1}$	181 ± 2
^{60}Co	1173.2	182/152	$4.8^{+2.8}_{-2.8}$	55 ± 1
	1332.3	93/101	<3.1	51 ± 1
^{137}Cs	661.6	335/348	<5.9	282 ± 2
^{228}Ac	910.8	294/303	<5.8	29.8 ± 1.6
	968.9	247/230	$2.7^{+2.8}_{-2.5}$	17.6 ± 1.1
			<7.6	36 ± 3
			$1.5^{+0.6}_{-0.5}$	16.5 ± 0.5
			$12.5^{+9.5}_{-7.7}$	138.7 ± 4.8
			$6.8^{+3.7}_{-4.1}$	105 ± 1
			<6.1	26.9 ± 1.2
			$3.6^{+0.9}_{-0.8}$	30.7 ± 0.7
			$0.4^{+0.4}_{-0.4}$	8.1 ± 0.5

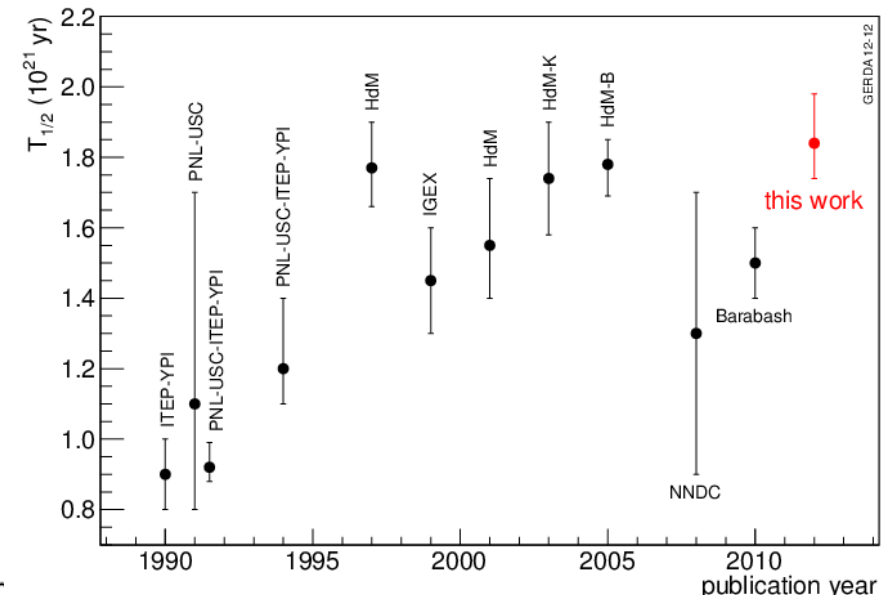


J. Phys. G: Nucl. Part. Phys. 40 (2013) 035110



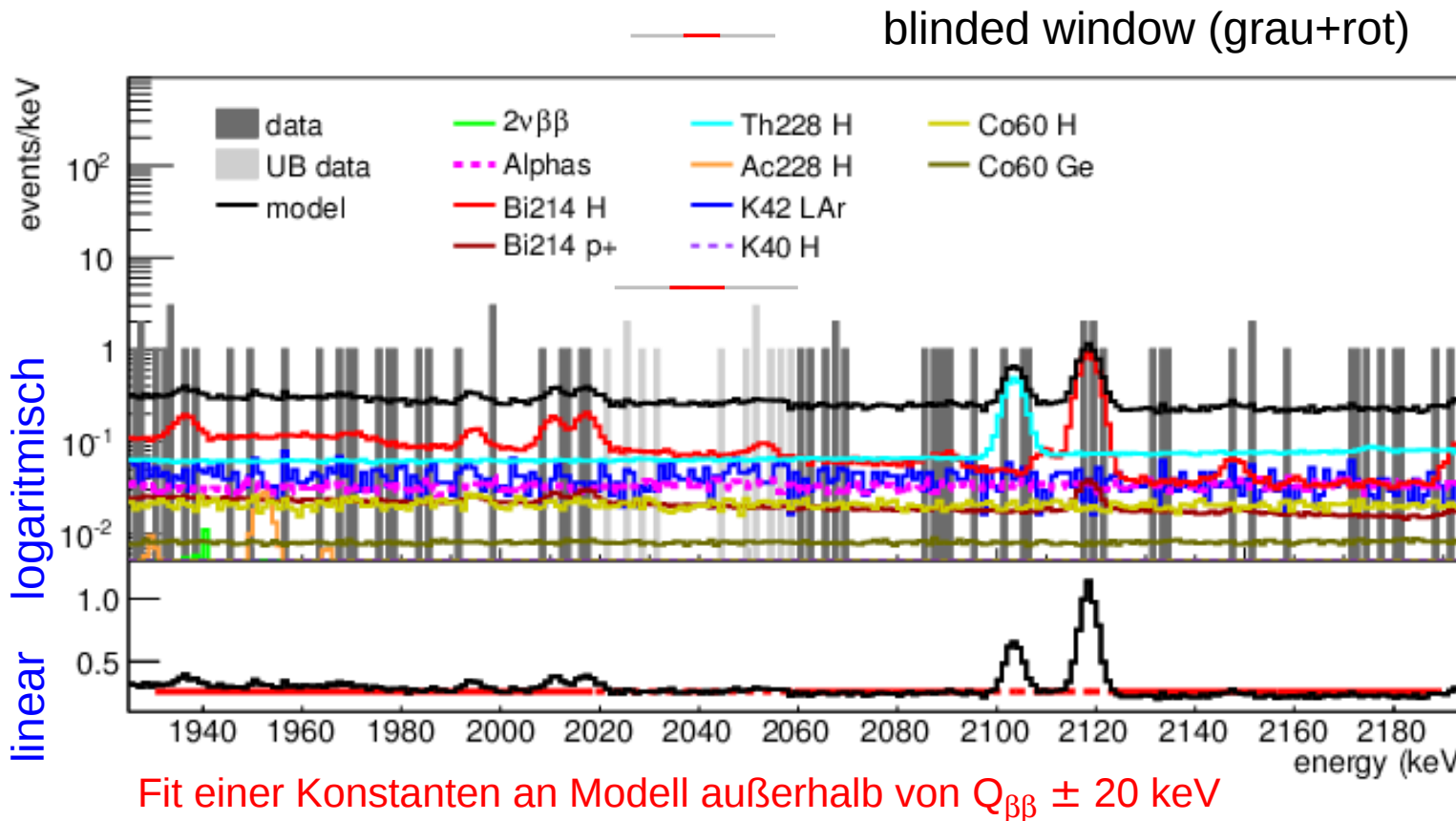
5.04 kg yr exposure

$$T_{1/2}^{2\nu} = 1.84^{(+.14/-_.10)} \cdot 10^{21} \text{ yr}$$



Untergrundmodel @ $Q_{\beta\beta}$

“minimal fit” (alle bekannte Beiträge)



Keine Linie in
blinded window (rot)
erwartet

(n,γ) gemessen

Untergrund flach in
1930-2190 keV
(ohne 2104±5 keV,
ohne 2119±5 keV),

erwarten << 1 event in
anderen Linien von
 ^{214}Bi
(e.g. 2017, 2053 keV)

partielles unblinding (graues Fenster) nach fixing der Kalibration,
cuts & bkg Modell,
keine Linie in grauem Intervall gefunden
Modell: 8.6-10.3 events in grau & gefunden: 13 events

pulse shape discrimination (PSD)

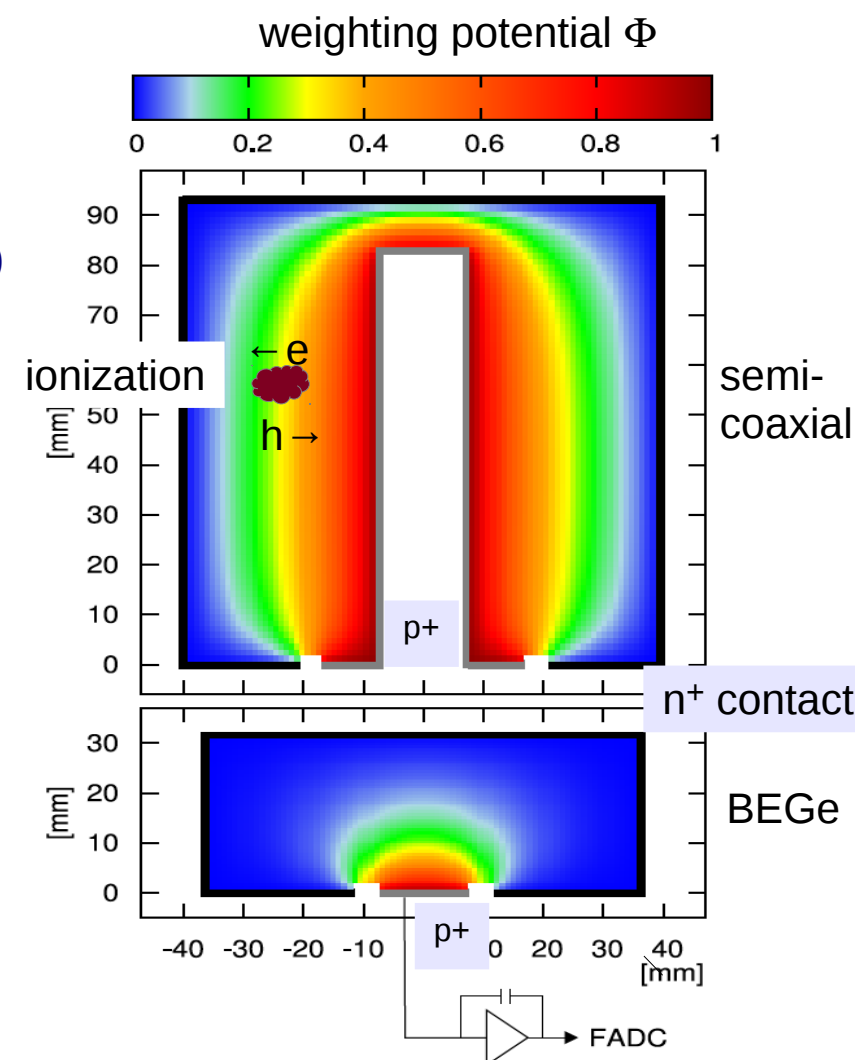
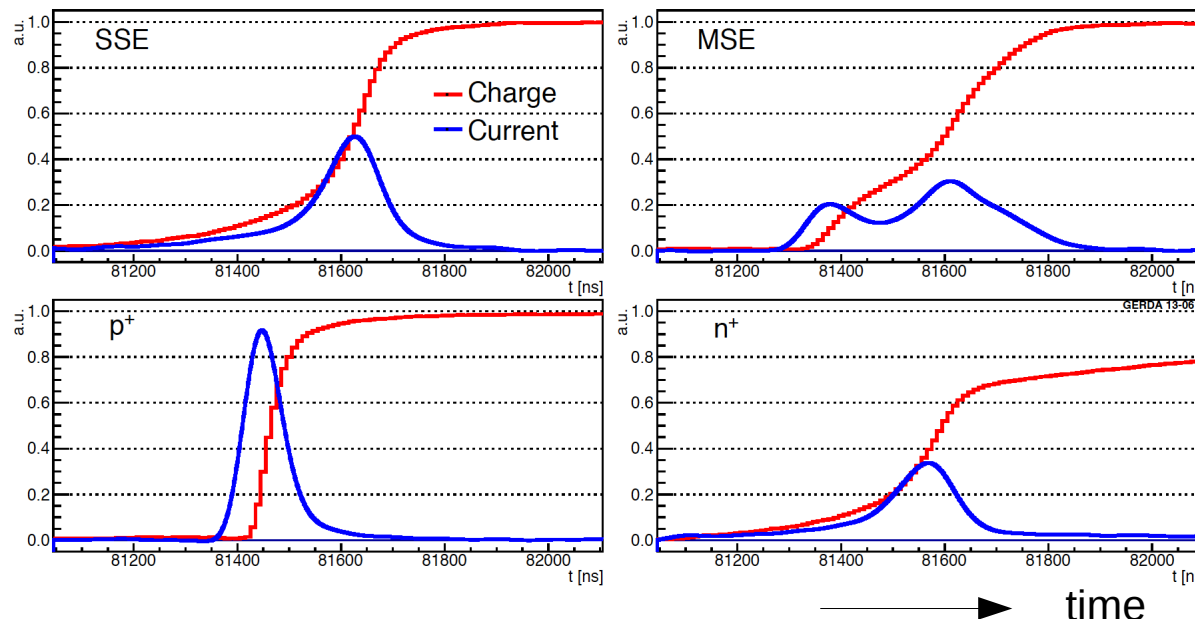
pulse shape discrimination to select $0\nu\beta\beta$ events

$0\nu\beta\beta$ events: range of 1 MeV electrons in Ge is ~ 1 mm
 → single drift of electrons & holes, **single site event (SSE)**

background from γ 's: range of MeV γ in Ge >10 x larger
 → often sum of several electron/hole drifts,
multi site events (MSE)

surface events: only electrons or holes drift

charge and current signal for BEGe detectors (data events)



$$\text{current signal} = q \cdot v \cdot \nabla \Phi$$

(Shockley-Ramo theorem)

Ergebnisse der Untergrund-Analysen

Exposition of 21.6 kg yr von Nov. 2011 bis May 2013

3 data sets: golden, silver, BEGe

wöchentliche Kalibration mit ^{228}Th Quelle(n)

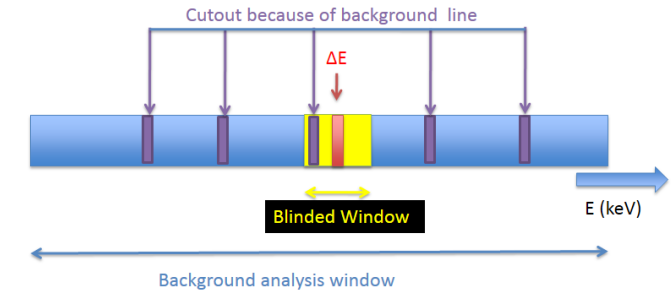
Auflösung (FWHM) @ 2 MeV: coax 4.8 keV, BEGe 3.2 keV FWHM (50 cm diode-CC2)

Elektronik/Verstärkung stabil innerhalb ± 1.3 keV

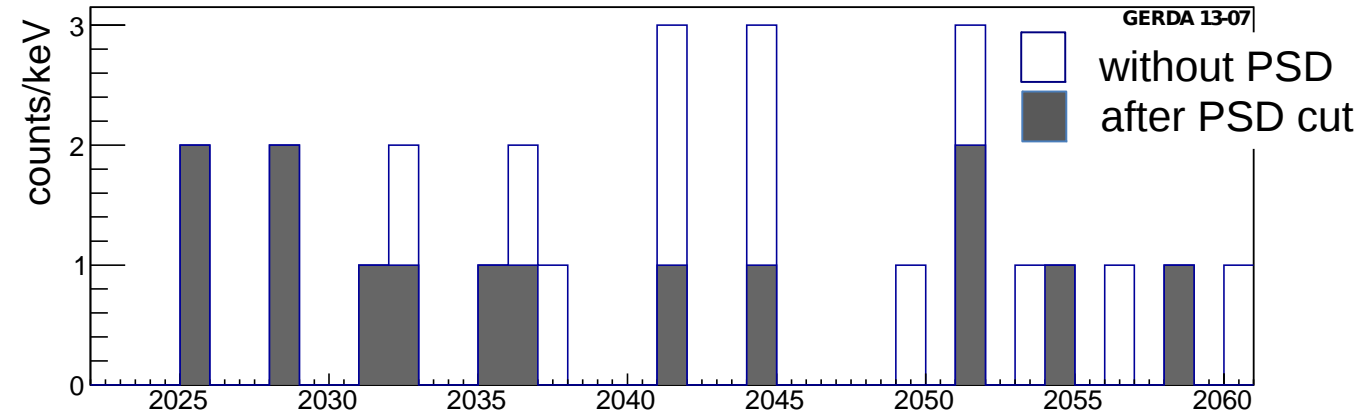
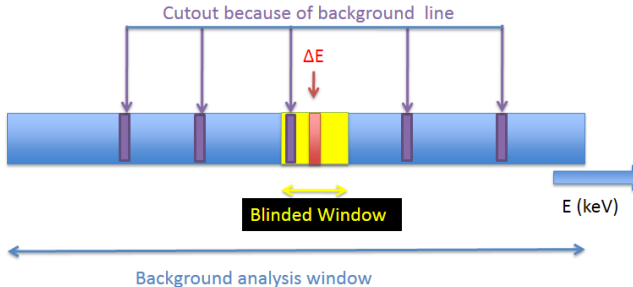
stärkste γ Linie ist: 1525 keV von ^{42}K

Spektrum dominiert von ^{214}Bi und ^{228}Th \curvearrowright Untergrund verstanden

'nahe Quellen' (Det. Halter etc.) und Oberflächen-Kontamination

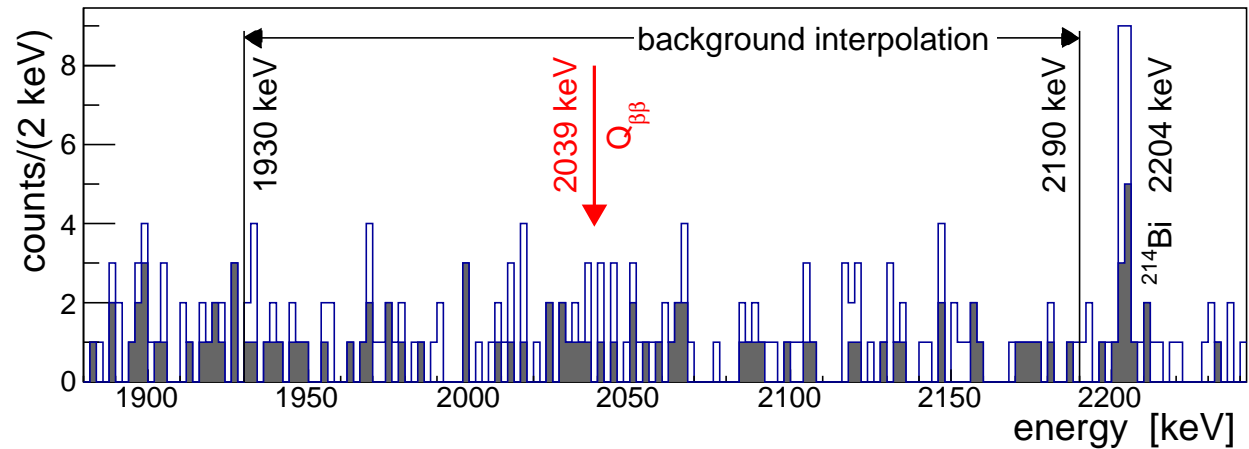


unblinding



11-14 Juni 2013

4 Tage Analyse & Diskussion
dann
unblinding der letzten ± 5 keV



evt cts in ± 5 keV	golden	silver	BEGe	total
erwart. w/o PSD	3.3	0.8	1.0	5.1
beob. w/o PSD	5	1	1	7
erwart. w/ PSD	2.0	0.4	0.1	2.5
beob w/ PSD	2	1	0	3

kein Peak im Spektrum bei $Q_{\beta\beta}$,

Zählung konsistent mit Bkg,
→ GERDA setzt ein Limit

Limit für Halbwertszeit im $0\nu\beta\beta$ Zerfall in ^{76}Ge

$$T_{1/2}^{0\nu} = \frac{\ln 2 \cdot N_A}{m_{\text{enr}} \cdot N^{0\nu}} M \cdot t \cdot f_{76} \cdot f_{\text{av}} \cdot \epsilon_{\text{fep}} \cdot \epsilon_{\text{psd}}$$

exposure averaged efficiencies

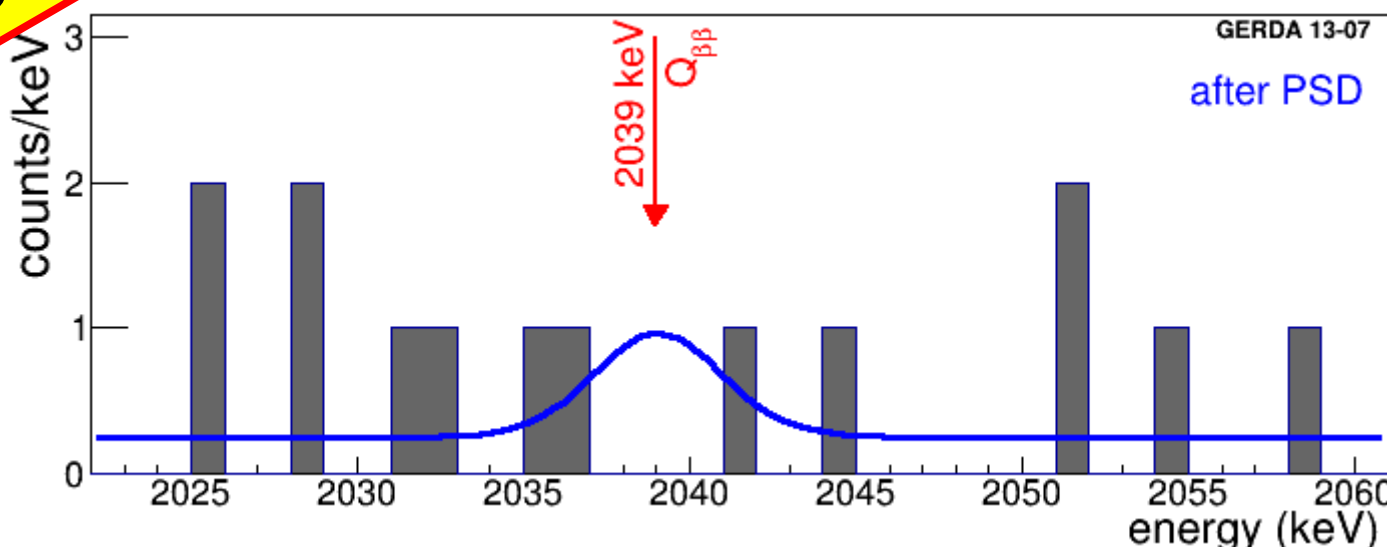
data set	$M \cdot t$	f_{76}	f_{av}	ϵ_{fep}	ϵ_{psd}
golden	17.9 kg yr	0.86	0.87	0.90	0.90
silver	1.3 kg yr	0.86	0.87	0.90	0.90
BEGe	2.4 kg yr	0.86	0.87	0.90	0.92

fit 3 data sets in 2035-2190 keV interval:
 constant background + gauss (for signal),
 systematic uncertainty factors: 3x bkg level & $1/T^{0\nu} > 0$ constrain

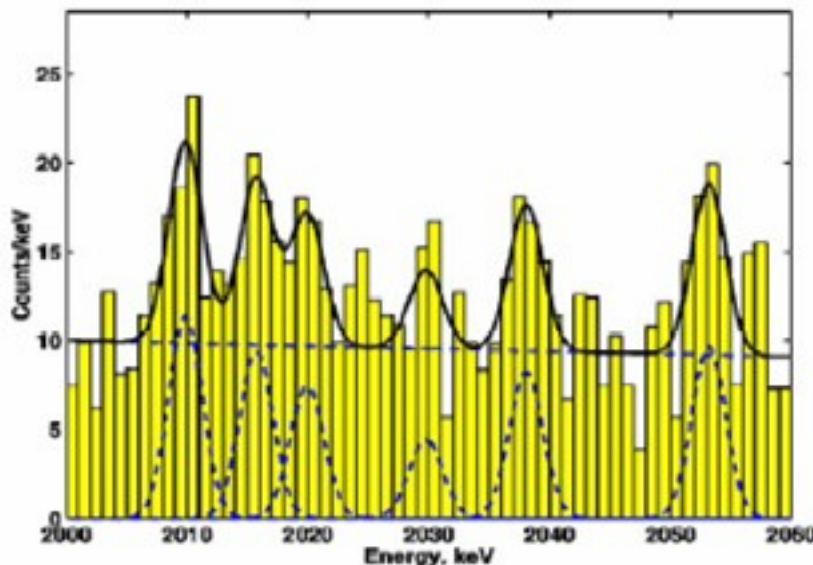
fix gaussian $\mu = (2039.06 \pm 0.2)$ keV,
 $\sigma = (2.0 \pm 0.1)/(1.4 \pm 0.1)$ keV for coax/BEGe
 systematic uncertainties on f, ϵ, μ, σ :
 Monte Carlo sampling & averaging

frequentist: good fit \rightarrow best fit $N^{0\nu}=0$, $T_{1/2}^{0\nu} > 2.1 \cdot 10^{25}$ yr (90% C.L.) (sensitivity = $2.4 \cdot 10^{25}$ yr)

Proof of Principle OK, Blum Faktor 10 reduziert



PRL111(2013)
122503

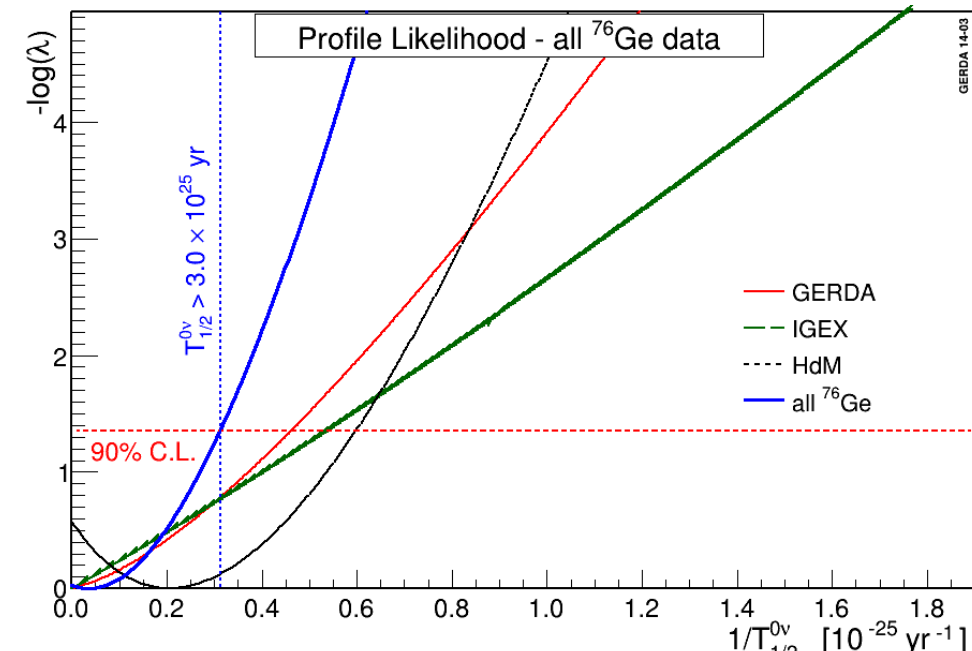
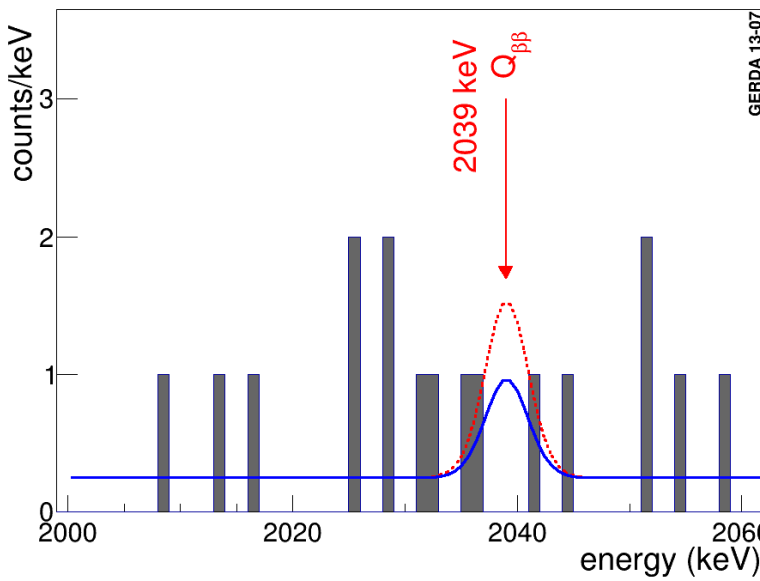


claim 2004

$$\mathcal{E} = 71.7 \text{ kg yr}$$

claim 2004:
Auschluss mit 99%
durch Hypothesentest
 $p = 0.01$

$$p(N^{0\nu}=0 \mid H_1=\text{signal+bkg}) = 0.01$$



GERDA Phase I

$$\begin{aligned} BI &= 1.1 \cdot 10^{-2} \text{ cts/(kg yr keV)} \\ \mathcal{E} &= 21.6 \text{ kg yr} \\ S &\sim 0.006 \text{ cts/(mol yr } \delta E) \end{aligned}$$

MAJORANA

Sanford Underground Research Facility
SURF (1478 m) S Dakota, USA

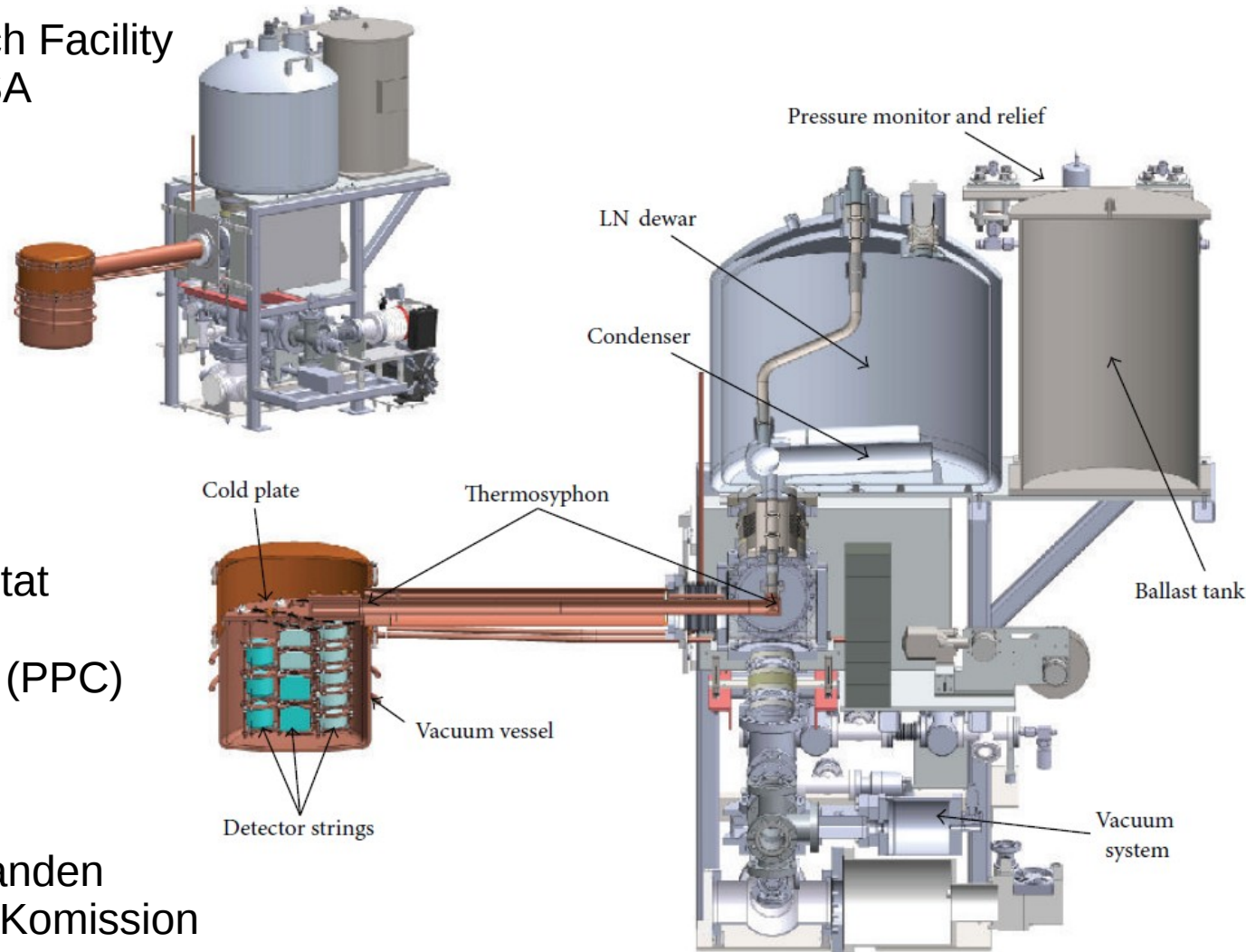
Ziel: $\text{BI} < 1 \text{ cts/ (t yr 4keV)}$
 $E_{\text{th}} \sim 0,5 \text{ keV}$

Kryostat: elektrolyth-Kupfer
OFHC Kupfer
Blei

20 kg Detektoren pro Kryostat

p-Typ point contact diodes (PPC)
87% angereichert in ^{76}Ge

Demonstrator: 30 kg Ge vorhanden
2013 Prototyp Kryostat Komission
2013 Kryostat 1
2014 Kryostat 2
2015 volle Funktion für 100 kg yr



Advances in High Energy Physics (2014) ID365432

KamLAND-ZEN

^{136}Xe

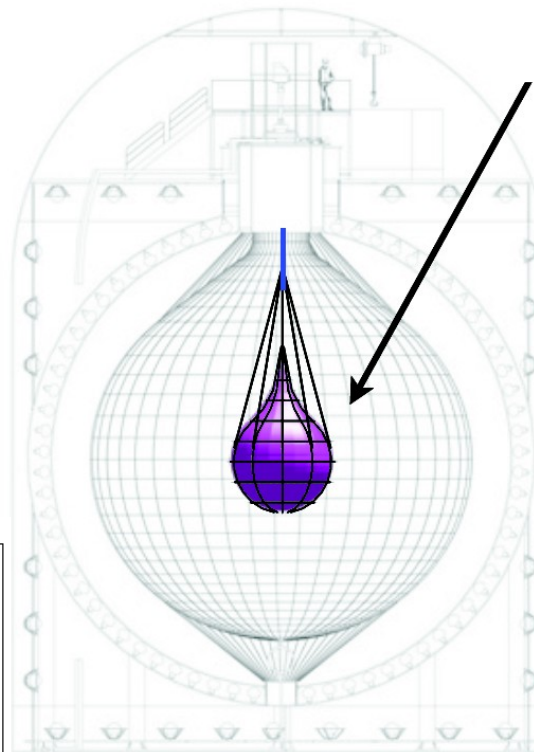
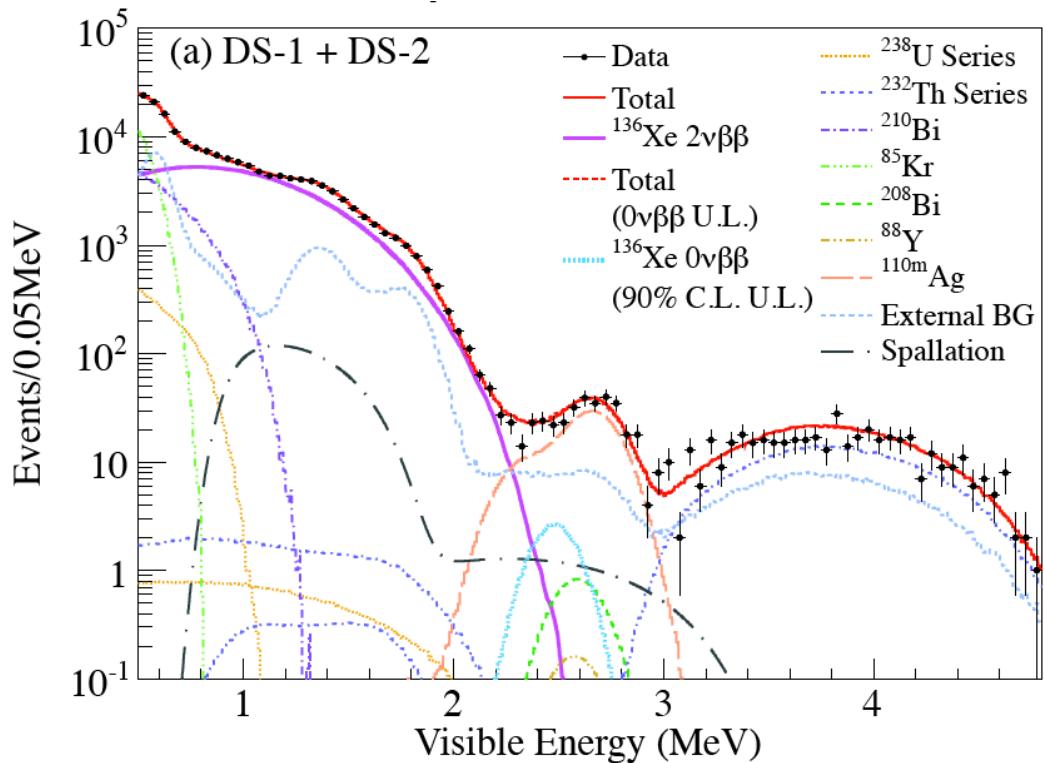
PRL110 (2013) 062502

(89.5 kg yr)

$$T_{1/2}^{2\nu} = 2.30 \pm 0.03 \text{ (stat)} \pm 0.09 \text{ (syst)} \times 10^{21} \text{ yr}$$

$$T_{1/2}^{0\nu} > 1.9 \times 10^{25} \text{ yr} \quad (90\% \text{ C.L.})$$

Sensitivität: $1 \times 10^{25} \text{ yr}$



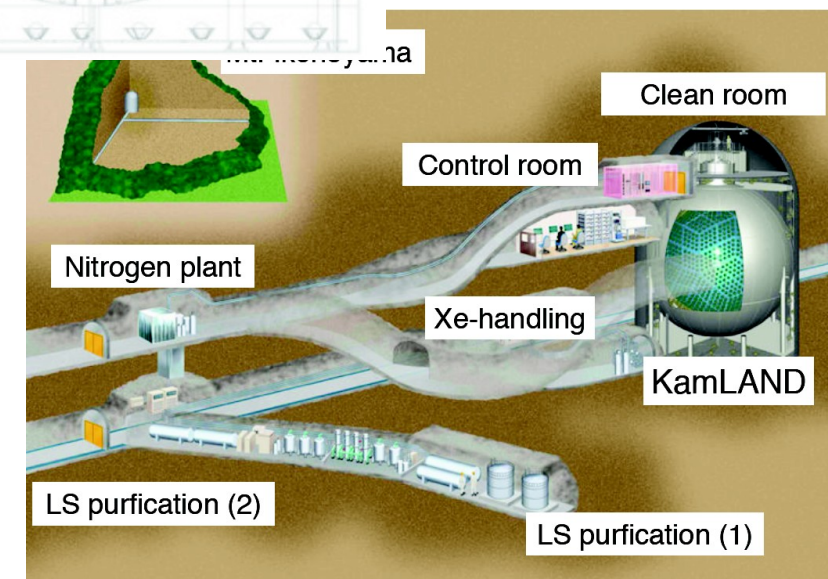
13 t Szintillator mit
~300 kg ^{136}Xe

90% angereichert

$\Delta E \sim 6.6\%/\sqrt{E}$

1000 t Szint.
fiducial volume

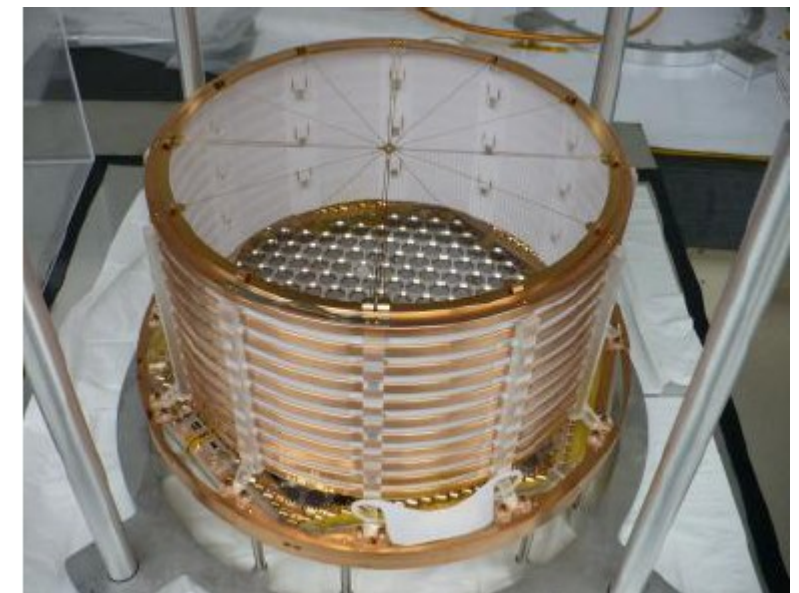
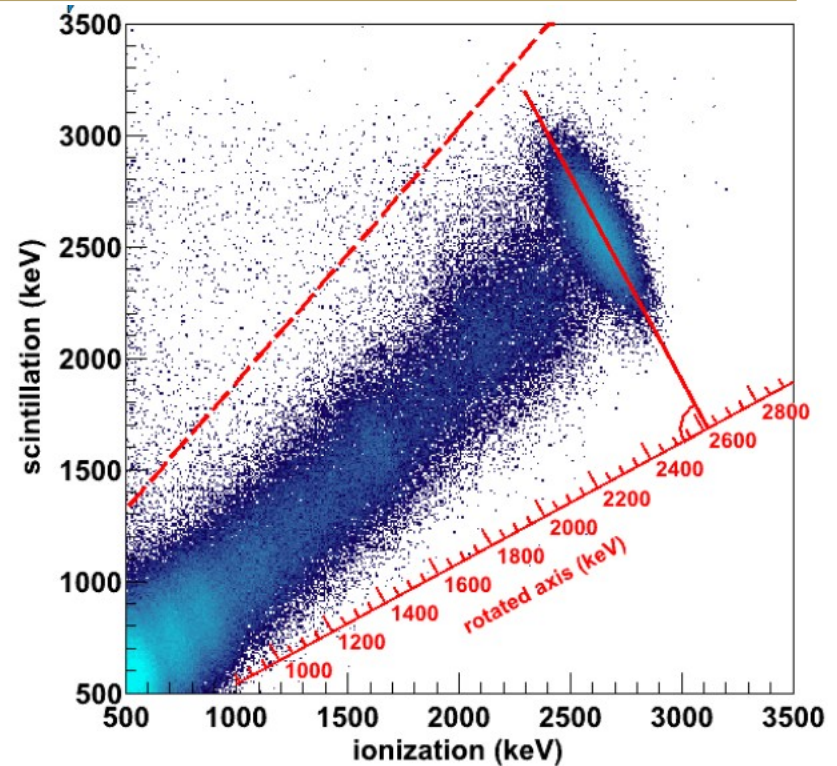
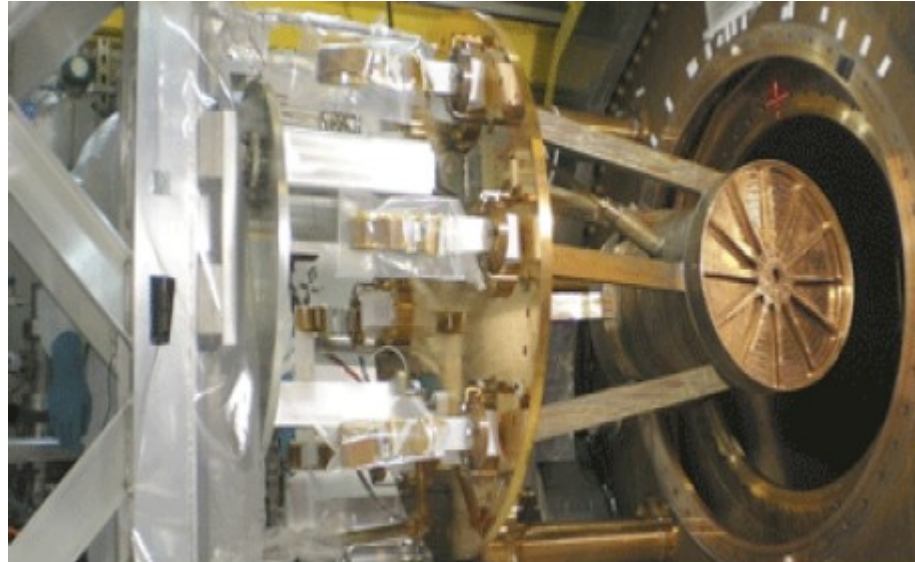
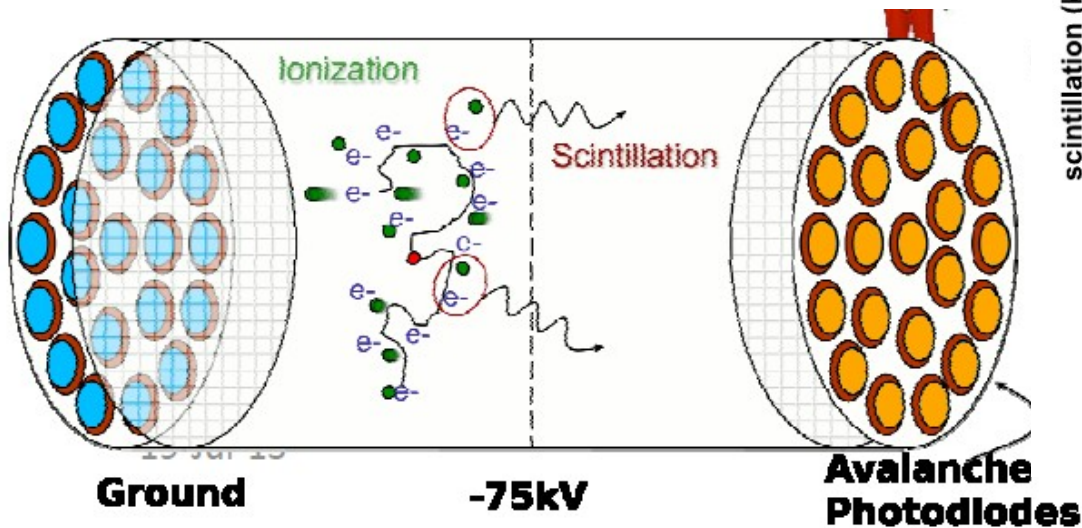
Spallation,
fall-out (^{110m}Ag)





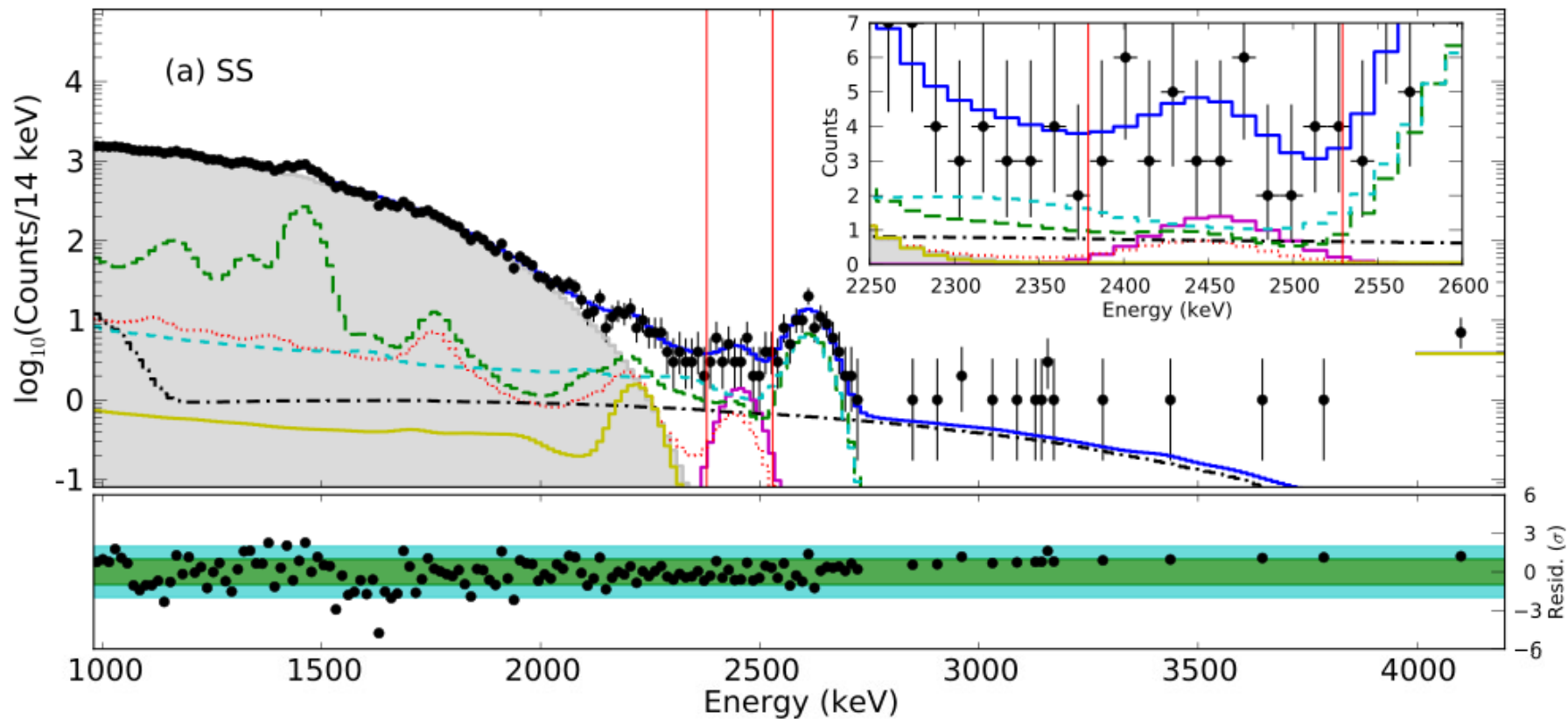
EXO200 (WIPP)

^{136}Xe $Q_{\beta\beta} = 2479$ PRL109 (2012) 032505



EXO 200

arXiv1402.6956

 ^{136}Xe 

$$\mathcal{E} = 99.8 \text{ kg yr}$$

$$\sigma/\mathcal{E} = 0.015 \quad \pm 2\sigma = 150 \text{ keV}$$

$$\text{BI} = 0.0017 \text{ cts}/(\text{kg yr keV})$$

$$T_{1/2}^{0\nu} > 1.1 \cdot 10^{25} \text{ yr} \quad (90\% \text{ C.L.})$$

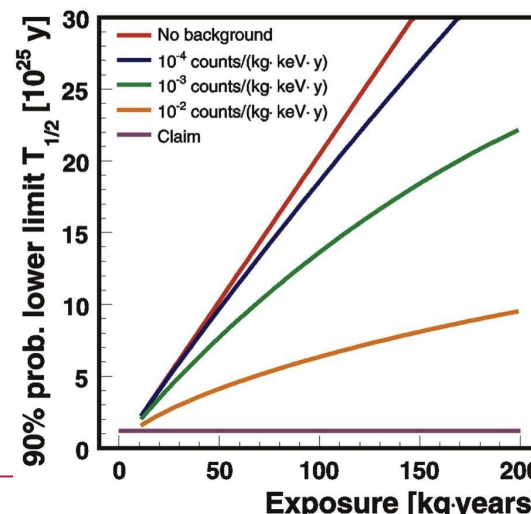
Sensitivität für $0\nu\beta\beta$ Zerfall

Experiment \mathcal{E} kg yr δE % BI 10^{-3} cts/(kg yr keV)

S cts/(mol yr dE)

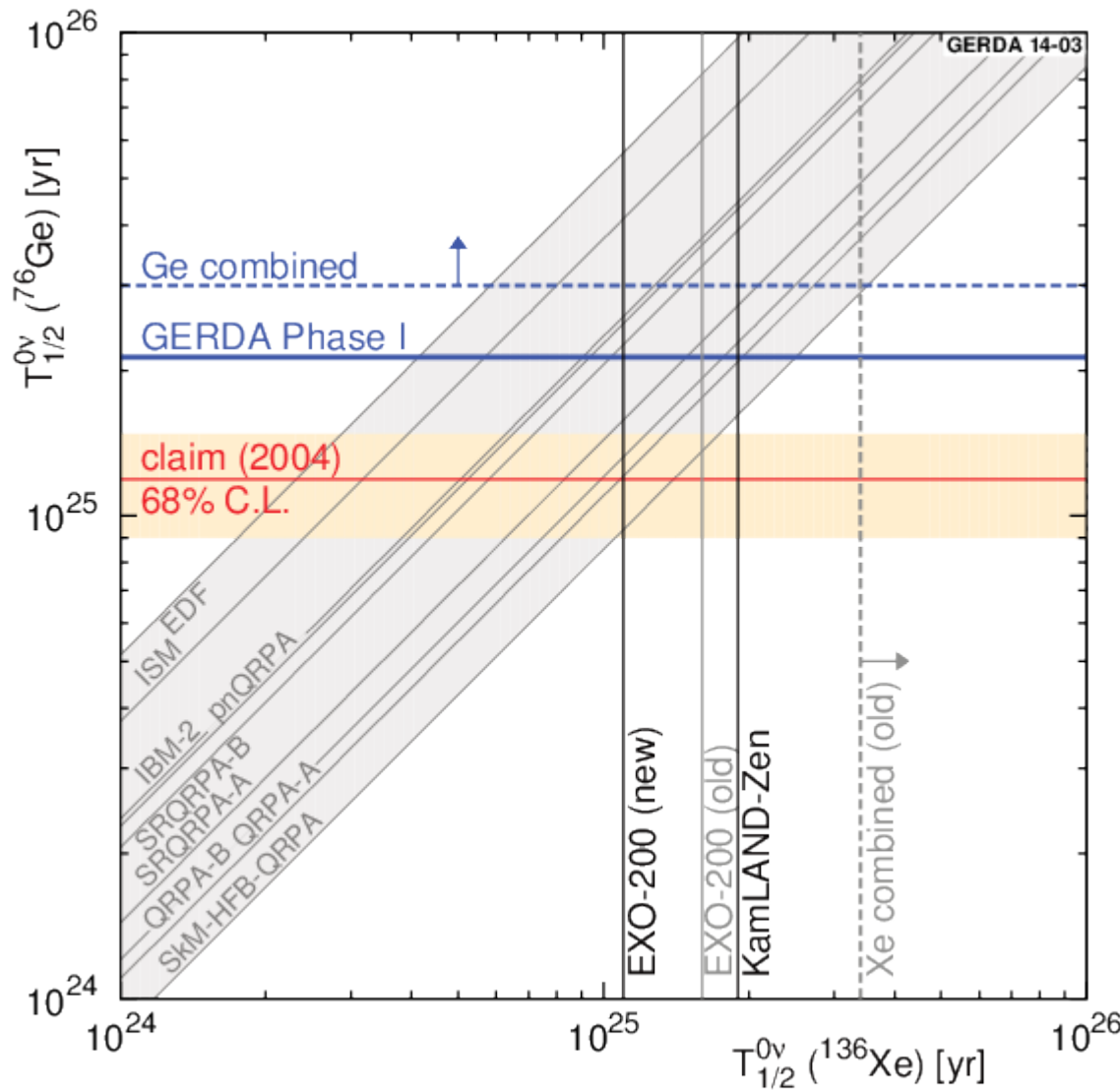
$T_{1/2} > x \cdot 10^{25}$ yr (90%CL)

KamLAND-Zen I	27.5	4.2%			> 0.5
KamLAND-Zen II	89.5	4.2%	41	0.19	> 1.9
EXO-200 1	32.5	1.67%	1.5 ± 0.1	0.044	> 1.6
EXO-200 2	99.8	1.53%	1.7 ± 0.2	0.053	> 1.1
GERDA Phase I	21.6	0.2%,	11 ± 2	0.006	> 2.1



Vergleich ^{76}Ge & ^{136}Xe

$$1/T_{1/2} = G^{0\nu} |M^{0\nu}|^2 m_{\beta\beta}^2$$



$G^{0\nu}$ Phasenraum

$m_{\beta\beta}$ effektive ν Masse

$M^{0\nu}$ nukl. Matrixelement (Kernstruktur)

*Rodin, Faessler, Simkovic, Suhonen
Iachello, Poves,*

aus Limit für $T_{1/2}$:

$m_{\beta\beta} < (0.2 - 0.4) \text{ eV}$ (Ge comb.)

kleinstes Verhältnis $M^{0\nu} \text{ } ^{136}\text{Xe}/^{76}\text{Ge} \sim 0.4$

⇒ für claim günstigste Umrechnung
schwächster Ausschluss des claims

Bayes Faktor $P(H1)/p(H0) = 0.0022$



Phase II

- 1) zusätzliche BEGe 30 Detektoren:
+ 20 kg, bessere PSD
- 2) neue FE- Vorverstärker

- 3) Flüssig-Argon-Instrumentierung

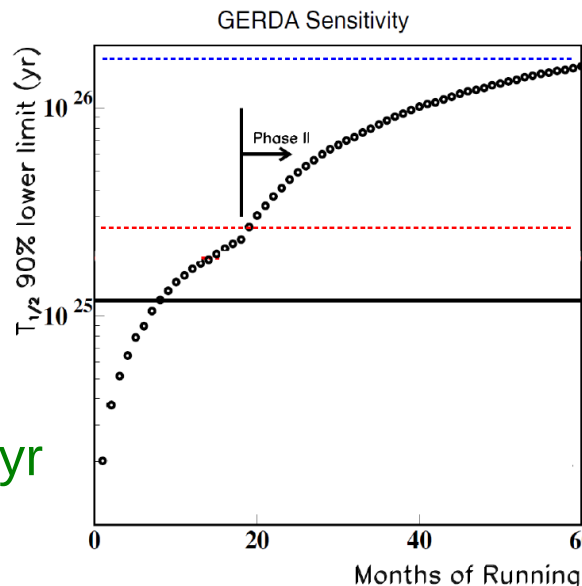
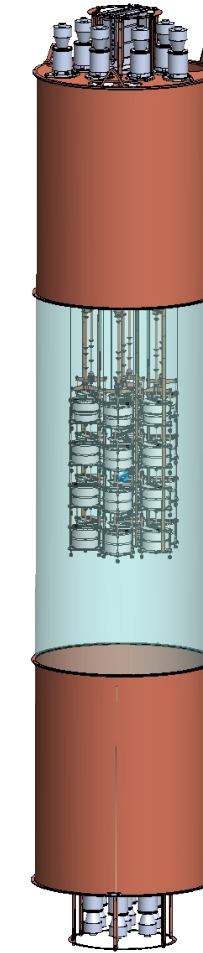
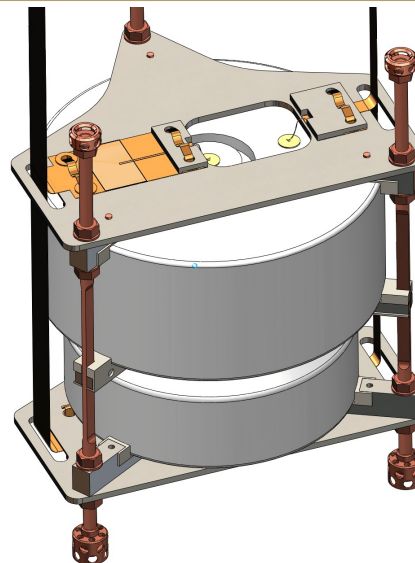
*Oberflächenkontaminationen & Comptonstreuung
erzeugen Szenillationslicht (128nm) in LAr*

Auslese mit

- a) WLS-Fasern und SiPM
- b) 3" PMT

Ziel : $B\bar{l} \sim 10^{-3}$ cts/(keV·kg·yr)

$$\mathcal{E} \sim 100 \text{ kg yr} \rightsquigarrow T_{1/2} \sim 10^{26} \text{ yr}$$



Zusammenfassung

neue Experimente zum $0\nu\beta\beta$ Zerfall:

Kamland-Zen, EXO,
 ^{136}Xe , GERDA, Majorana
 ^{76}Ge

Bedeutung von $0\nu\beta\beta$ für SM & Kosmologie
Majorana-Natur (Komponente)

GERDA für ^{76}Ge

Proof of Principle gezeigt: $\text{BI} \sim 10^{-2} \text{ cts}/(\text{keV}\cdot\text{kg}\cdot\text{yr})$

$2\nu\beta\beta$: $T_{1/2}^{2\nu} = 1.84^{(+.14)}_{(-.10)} \cdot 10^{21} \text{ yr}$

$0\nu\beta\beta$: $T_{1/2}^{0\nu} > 2.1 \cdot 10^{25} \text{ yr}$ (90% C.L. frequentist)



Phase II mit $\sim 35 \text{ kg}$ Detektor & $\text{BI} \sim 10^{-3} \text{ cts}/(\text{keV}\cdot\text{kg}\cdot\text{yr})$ in Vorbereitung

Phase II notwendig, da



Zusammenfassung

neue Experimente zum $0\nu\beta\beta$ Zerfall:

Kamland-Zen, EXO,
 ^{136}Xe , GERDA, Majorana
 ^{76}Ge

Bedeutung von $0\nu\beta\beta$ für SM & Kosmologie
Majorana-Natur (Komponente)

GERDA für ^{76}Ge

Proof of Principle gezeigt: $\text{BI} \sim 10^{-2} \text{ cts}/(\text{keV}\cdot\text{kg}\cdot\text{yr})$

$2\nu\beta\beta$: $T_{1/2}^{2\nu} = 1.84^{(+.14)}_{(-.10)} \cdot 10^{21} \text{ yr}$

$0\nu\beta\beta$: $T_{1/2}^{0\nu} > 2.1 \cdot 10^{25} \text{ yr}$ (90% C.L. frequentist)



Phase II mit $\sim 35 \text{ kg}$ Detektor & $\text{BI} \sim 10^{-3} \text{ cts}/(\text{keV}\cdot\text{kg}\cdot\text{yr})$ in Vorbereitung

Phase II notwendig, da wir immer noch nicht wirklich wissen
..... ob er recht hat